

Transformada de Laplace

Permite transformar Ecuaciones Diferenciales en Fracciones de Polinomios

Simplifica la parte matemática del análisis de sistemas

Sea $f(t)$ una función tal que $f(t) = 0$ para $t < 0$

$$\mathcal{L}[f(t)] = F(s) = \int_0^{\infty} f(t) e^{-st} dt \quad \text{donde } s = \sigma + j\omega$$

$$\text{Existencia: } \int_0^{\infty} |f(t)| e^{-\sigma t} dt < \infty$$

$$\text{Antitransformada: } \mathcal{L}^{-1}[F(s)] = f(t) = \frac{1}{2\pi j} \int_{\sigma - j\infty}^{\sigma + j\infty} F(s) e^{st} ds$$

Transformada de Laplace

Propiedades

Linealidad:

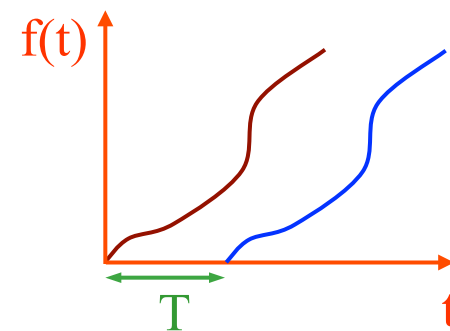
$$\mathcal{L}[k \cdot f(t)] = k \cdot F(s)$$

$$\mathcal{L}[f_1(t) + f_2(t)] = F_1(s) + F_2(s)$$

Variación en el tiempo: $\mathcal{L}[f(t - T)] = e^{-sT} F(s)$

Integración:

$$\mathcal{L}\left[\int_{-\infty}^t f(\tau) dt\right] = \frac{F(s)}{s} + \frac{1}{s} \int_{-\infty}^0 f(t) dt$$



Transformada de Laplace

Propiedades

Diferenciación: $\mathcal{L} \left[\frac{d^n f(t)}{dt^n} \right] = s^n F(s) - \sum_{k=1}^n s^{n-k} f^{(k-1)}(0^+)$

Ejemplos:

$$n = 1 \quad \longrightarrow \quad \mathcal{L} \left[\frac{d f(t)}{dt} \right] = sF(s) - \overbrace{f(0^+)}^{k=1}$$

$$n = 2 \quad \longrightarrow \quad \mathcal{L} \left[\frac{d^2 f(t)}{dt^2} \right] = s^2 F(s) - \left(\overbrace{s \cdot f(0^+)}^{k=1} + \overbrace{\dot{f}(0^+)}^{k=2} \right)$$

$$n = 3 \quad \longrightarrow \quad \mathcal{L} \left[\frac{d^3 f(t)}{dt^3} \right] = s^3 F(s) - \left(\overbrace{s^2 \cdot f(0^+)}^{k=1} + \overbrace{s \dot{f}(0^+)}^{k=2} + \overbrace{\ddot{f}(0^+)}^{k=3} \right)$$

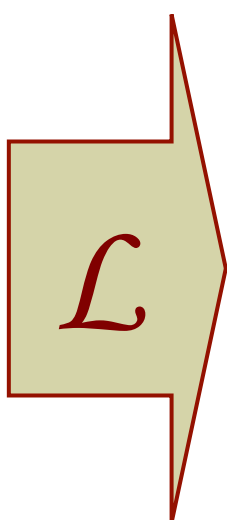
Transformada de Laplace (función de transferencia)

- Relación entre la transformada de Laplace de la variable salida y la transformada de Laplace de la variable entrada.
- Es la transformada de Laplace de la respuesta de un sistema ante un impulso.
- Se puede determinar por tanto de la ecuación diferencial.
- Condiciones:
 - Condiciones iniciales nulas
 - Sistemas lineales e invariantes en el tiempo
 - Depende únicamente de las propiedades físicas del sistema (no de la entrada)
- No todas son expresiones racionales.
- Permiten estudiar la estabilidad, precisión y otras características de la respuesta

Transformada de Laplace

Aplicación:

$$a_0 \frac{d^n y(t)}{dt^n} + a_1 \frac{d^{n-1} y(t)}{dt^{n-1}} + \dots + a_n y(t) = b_0 \frac{d^m u(t)}{dt^m} + b_1 \frac{d^{m-1} u(t)}{dt^{m-1}} + \dots + b_m u(t)$$



$$\left. \begin{aligned} & a_0 s^n Y(s) - a_0 [s^{n-1} y(0^+) + s^{n-2} \dot{y}(0^+) + s^{n-3} \ddot{y}(0^+) + \dots] + \\ & a_1 s^{n-1} Y(s) - a_1 [s^{n-2} y(0^+) + s^{n-3} \dot{y}(0^+) + s^{n-4} \ddot{y}(0^+) + \dots] + \\ & a_2 s^{n-2} Y(s) - a_2 [s^{n-3} y(0^+) + s^{n-4} \dot{y}(0^+) + s^{n-5} \ddot{y}(0^+) + \dots] + \\ & \vdots - \vdots \\ & a_{n-1} s Y(s) - a_{n-1} s y(0^+) + \\ & a_n Y(s) = [b_0 s^m + b_1 s^{m-1} + \dots + b_{m-1} s + b_m] U(s) \end{aligned} \right\}$$



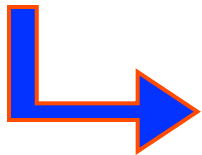
$$\Rightarrow Y(s) = \frac{b_0 s^m + b_1 s^{m-1} + \dots + b_{m-1} s + b_m}{a_0 s^n + a_1 s^{n-1} + \dots + a_{n-1} s + a_n} U(s) + \frac{f[0^+]}{a_0 s^n + a_1 s^{n-1} + \dots + a_{n-1} s + a_n}$$

Transformada de Laplace

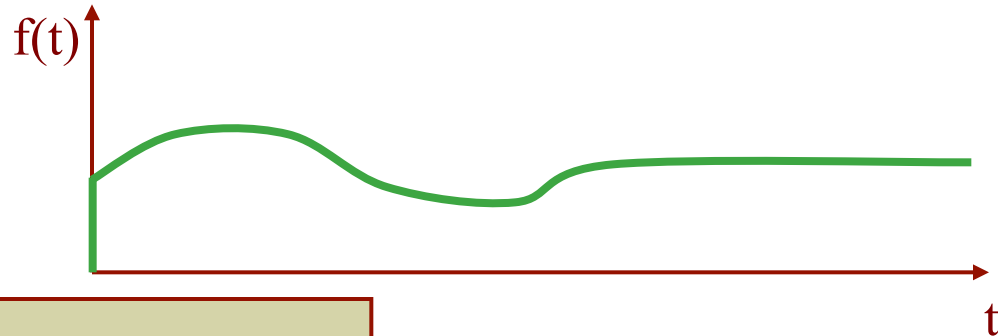
Propiedades

Teorema del valor inicial:

$$f(0) = \lim_{s \rightarrow \infty} s \cdot F(s)$$

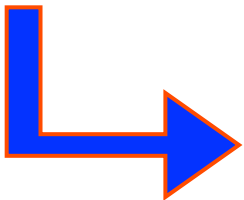


$f(t)$ debe ser continua o discontinua de tipo escalón en el origen



Teorema del valor final:

$$f(\infty) = \lim_{s \rightarrow 0} s \cdot F(s)$$

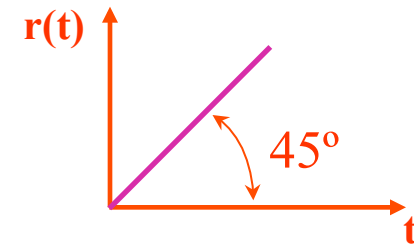
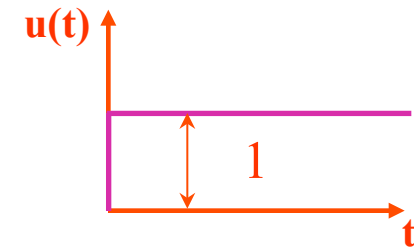
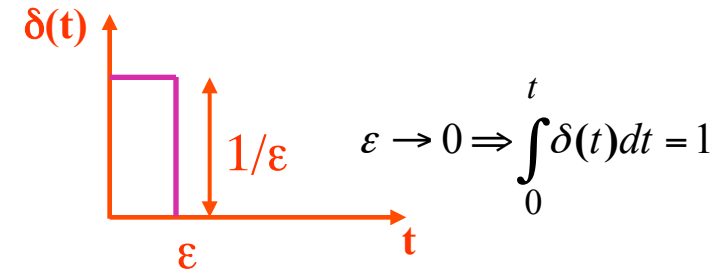


Todas las raíces del denominador de $F(s)$ deben tener parte real negativa y no más de una raíz en el origen

Transformada de Laplace

Tabla reducida de Transformadas

$\delta(t)$	\longleftrightarrow	1
$u(t)$	\longleftrightarrow	$1/s$
$r(t) = t \cdot u(t)$	\longleftrightarrow	$1/s^2$
$t^n \cdot u(t)$	\longleftrightarrow	$n!/s^{n+1}$
$\frac{t^{n-1}}{(n-1)!} e^{-at} \cdot u(t)$	\longleftrightarrow	$\frac{1}{(s+a)^n}$
$\frac{1}{\omega} e^{-at} \text{sen}(\omega t) \cdot u(t)$	\longleftrightarrow	$\frac{1}{(s+a)^2 + \omega^2}$
$e^{-at} \text{cos}(\omega t) \cdot u(t)$	\longleftrightarrow	$\frac{s+a}{(s+a)^2 + \omega^2}$
$f(t-T) \cdot u(t-T)$	\longleftrightarrow	$F(s) e^{-Ts}$



Transformada de Laplace

Cálculo de antitransformadas

Se usan las tablas de transformadas

$$G(s) = \frac{Y(s)}{U(s)} = \frac{N(s)}{D(s)} = \frac{A_1}{s + s_1} + \frac{A_2}{s + s_2} + \dots + \frac{A_n}{s + s_n} + \quad \Rightarrow \text{Polos reales simples}$$

$$+ \frac{a_1}{s + s_i} + \frac{a_2}{(s + s_i)^2} + \dots + \frac{a_r}{(s + s_i)^r} + \quad \Rightarrow \text{Polos reales de multiplicidad } r$$

$$+ \frac{b_1 + c_1 s}{s^2 + e_1 s + d_1} + \frac{b_2 + c_2 s}{s^2 + e_2 s + d_2} + \dots + \frac{b_m + c_m s}{s^2 + e_m s + d_m}$$

 Polos complejos conjugados

Transformada de Laplace

Ejemplo

a) Calcular la f.d.t. del sistema que tiene la siguiente ecuación:

$$\frac{d^2 y(t)}{dt^2} + 7 \frac{dy(t)}{dt} + 12y(t) = 6 \frac{du(t)}{dt} + 12u(t)$$

b) Calcular su respuesta temporal si la entrada es un escalón unitario y las condiciones iniciales son:

$$y(0) = 1$$

$$\dot{y}(0) = 1$$

c) Calcular los valores inicial y final de la respuesta

Transformada de Laplace

a) Aplicando la transformada de Laplace queda:

$$\underbrace{s^2 \cdot Y(s) - [s \cdot y(0) + \dot{y}(0)]}_{\mathcal{L}[d^2y/dt^2]} + 7 \underbrace{[s \cdot Y(s) - y(0)]}_{\mathcal{L}[dy/dt]} + \underbrace{12 \cdot Y(s)}_{\mathcal{L}[y(t)]} = \underbrace{6s \cdot U(s)}_{\mathcal{L}[du/dt]} + \underbrace{12 \cdot U(s)}_{\mathcal{L}[u(t)]} \quad \rightarrow$$

$$\rightarrow Y(s) [s^2 + 7s + 12] = U(s) [6s + 12] + [(s + 7) \cdot y(0) + \dot{y}(0)] \quad \rightarrow$$

$$\rightarrow Y(s) = \frac{6s + 12}{s^2 + 7s + 12} U(s) + \frac{(s + 7) \cdot y(0) + \dot{y}(0)}{s^2 + 7s + 12}$$

Transformada de Laplace

b) Aplicando la antitransformada de Laplace queda:

$$Y(s) = \underbrace{\frac{6s+12}{s^2+7s+12}}_{(s+3)(s+4)} U(s) + \frac{(s+7)y(0) + \dot{y}(0)}{s^2+7s+12} = \frac{A}{s+3} + \frac{B}{s+4} + \frac{C}{s} + \frac{\hat{A}}{s+3} + \frac{\hat{B}}{s+4}$$

$$A = \left. \frac{6s+12}{(s+4)s} \right|_{s=-3} = 2; \quad B = \left. \frac{6s+12}{(s+3)s} \right|_{s=-4} = -3; \quad C = \left. \frac{6s+12}{(s+3)(s+4)} \right|_{s=0} = 1; \quad \hat{A} = \left. \frac{s+8}{s+4} \right|_{s=-3} = 5; \quad \hat{B} = \left. \frac{s+8}{s+3} \right|_{s=-4} = -4$$

$$Y(s) = \frac{2}{s+3} - \frac{3}{s+4} + \frac{1}{s} + \frac{5}{s+3} - \frac{4}{s+4} = \frac{1}{s} + \frac{7}{s+3} - \frac{7}{s+4}$$

$$\xrightarrow{\text{Escalón unitario}} y(t) = 1 + \underbrace{7e^{-3t}}_{\substack{a=3 \\ n=1}} - \underbrace{7e^{-4t}}_{\substack{a=4 \\ n=1}}$$

$\frac{1}{(s+a)^n} = \frac{t^{n-1}}{(n-1)!} \cdot e^{-at}$

Transformada de Laplace

c) Calcular su los valores inicial y final de la respuesta

Se puede resolver de dos maneras:

Primera manera (en el dominio de Laplace) \rightarrow Polos: 0, -4 y -3

Teorema del valor inicial: $y(0) = \lim_{s \rightarrow \infty} s \left[\frac{6s+12}{s^2+7s+12} \frac{1}{s} + \frac{s+8}{s^2+7s+12} \right] = 1$

Teorema del valor final: $y(\infty) = \lim_{s \rightarrow 0} s \left[\frac{6s+12}{s^2+7s+12} \frac{1}{s} + \frac{s+8}{s^2+7s+12} \right] = 1$

Segunda manera (en el dominio del tiempo)

$$y(t) = 1 + 7e^{-3t} - 7e^{-4t} \rightarrow \begin{cases} t = 0 \Rightarrow y(0) = 1 \\ t \rightarrow \infty \Rightarrow y(\infty) = 1 \end{cases}$$

Modelado de sistemas

Representar mediante un conjunto de ecuaciones diferenciales el comportamiento dinámico de un sistema

Permite someter a diferentes análisis las respuestas de los sistemas ante diversas señales de excitación




Permite diseñar dispositivos (reguladores, filtros, ...) para actuar sobre ellos

Tipos de sistemas:

- Lineales o no lineales
- Invariantes o variables con el tiempo
- Parámetros concentrados o parámetros distribuidos

Modelado de sistemas

Modelado Eléctrico: Leyes de Kirchoff

Componente	Tensión - Intensidad	Intensidad - Tensión	Tensión - Carga	Impedancia V(s)/I(s)
Condensador 	$v(t) = \frac{1}{C} \int_0^t i(\tau) d\tau$	$i(t) = C \frac{dv(t)}{dt}$	$v(t) = \frac{1}{C} q(t)$	$\frac{1}{Cs}$
Resistencia 	$v(t) = Ri(t)$	$i(t) = \frac{1}{R} v(t)$	$v(t) = R \frac{dq(t)}{dt}$	R
Inductancia 	$v(t) = L \frac{di(t)}{dt}$	$i(t) = \frac{1}{L} \int_0^t v(\tau) d\tau$	$v(t) = L \frac{d^2q(t)}{dt^2}$	Ls

v(t): Voltios

C: Faradios

i(t): Amperios

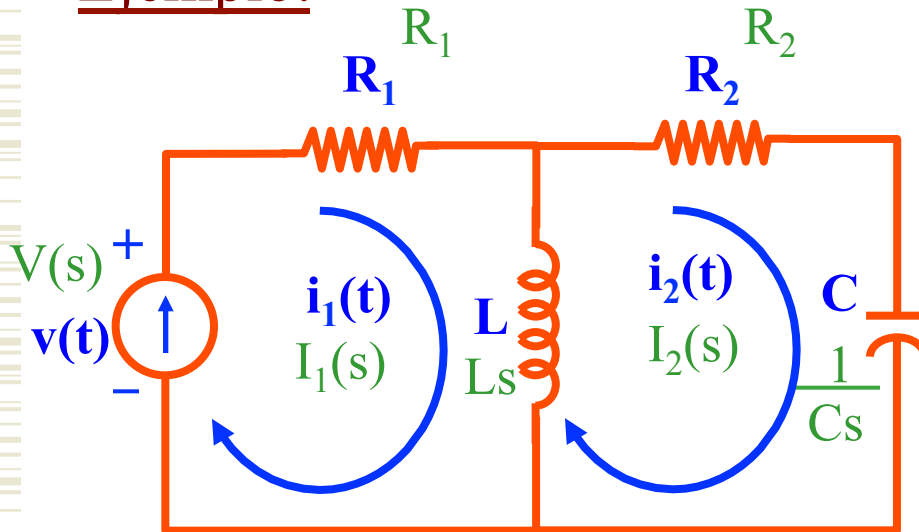
R: Ohmios

q(t): Culombios

L: Henrios

Modelado de sistemas

Ejemplo:



$$R_1 \cdot I_1(s) + L \cdot s \cdot I_1(s) - L \cdot s \cdot I_2(s) = V(s)$$

$$R_2 \cdot I_2(s) + \frac{1}{C \cdot s} I_2(s) + L \cdot s \cdot I_2(s) - L \cdot s \cdot I_1(s) = 0$$

$$\sum \text{Imped}_1 \cdot I_1(s) - \sum \text{Imped}_{1-2} \cdot I_2(s) = \sum \text{Tensiones}_1$$

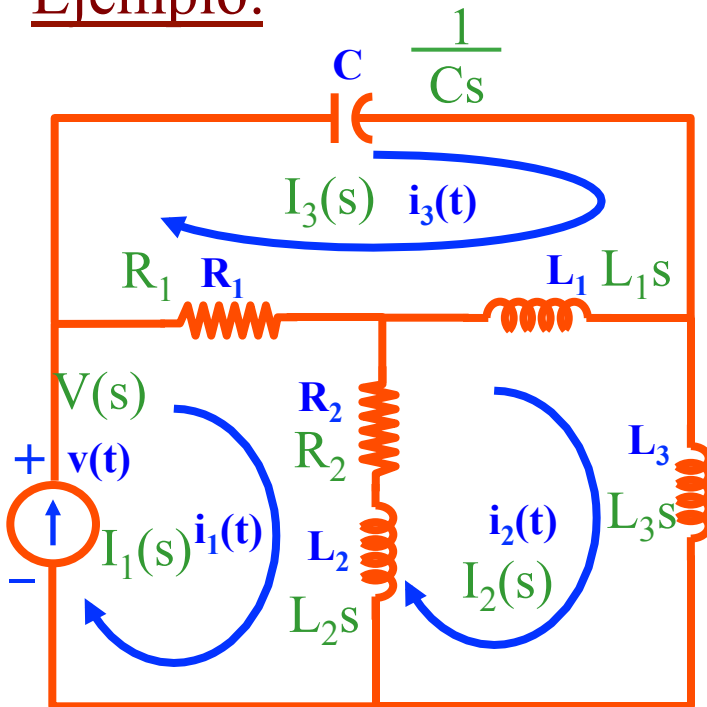
$$- \sum \text{Imped}_{2-1} \cdot I_1(s) + \sum \text{Imped}_2 \cdot I_2(s) = \sum \text{Tensiones}_2$$

Análisis de las mallas

- 1) Sustituir el valor de los elementos pasivos por sus impedancias
- 2) Asignar el mismo sentido a la corriente en cada una de las mallas
- 3) Transformar mediante Laplace todas las variables temporales
- 4) Aplicar las Leyes de Kirchoff a cada malla
- 5) Resolver el sistema de ecuaciones resultante y obtener la f.d.t.

Modelado de sistemas

Ejemplo:



$$\begin{aligned} & \sum \text{Imped}_1 \cdot I_1(s) - \sum \text{Imped}_{1-2} \cdot I_2(s) - \sum \text{Imped}_{1-3} \cdot I_3(s) = \\ & = \sum \text{Tensiones}_1 \\ & - \sum \text{Imped}_{2-1} \cdot I_1(s) + \sum \text{Imped}_2 \cdot I_2(s) - \sum \text{Imped}_{2-3} \cdot I_3(s) = \\ & = \sum \text{Tensiones}_2 \\ & - \sum \text{Imped}_{3-1} \cdot I_1(s) - \sum \text{Imped}_{3-2} \cdot I_2(s) + \sum \text{Imped}_3 \cdot I_3(s) = \\ & = \sum \text{Tensiones}_3 \end{aligned}$$

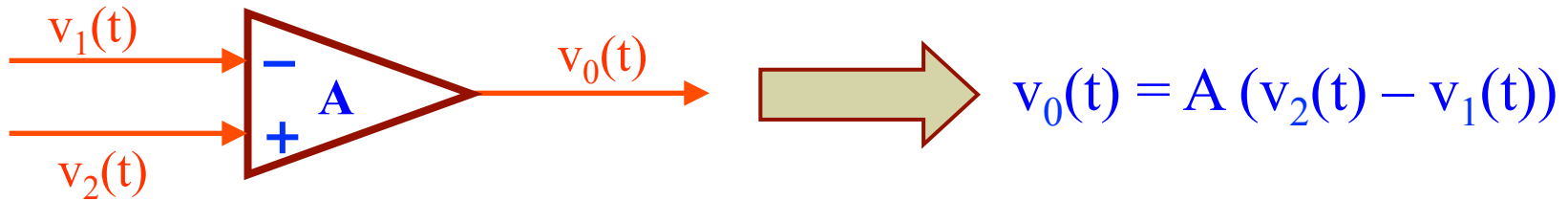
$$(R_1 + R_2 + L_2 \cdot s) \cdot I_1(s) - (R_2 + L_2 \cdot s) \cdot I_2(s) - R_1 \cdot I_3(s) = V$$

$$- (R_2 + L_2 \cdot s) \cdot I_1(s) + (R_2 + L_1 \cdot s + L_2 \cdot s + L_3 \cdot s) \cdot I_2(s) - L_1 \cdot s \cdot I_3(s) = 0$$

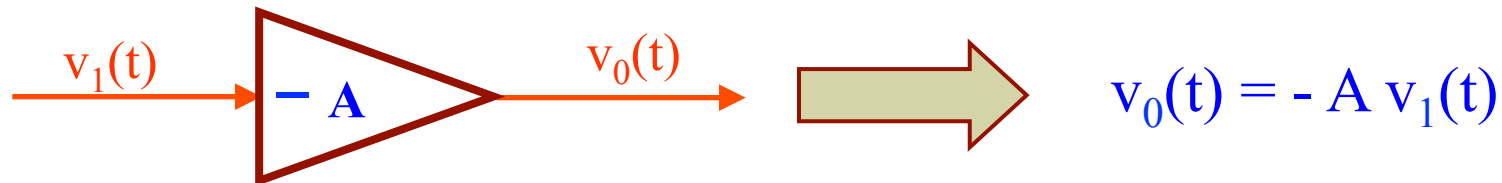
$$- R_1 \cdot I_1(s) - L_1 \cdot s \cdot I_2(s) + (R_1 + L_1 \cdot s + \frac{1}{C \cdot s}) \cdot I_3(s) = 0$$

Modelado de sistemas

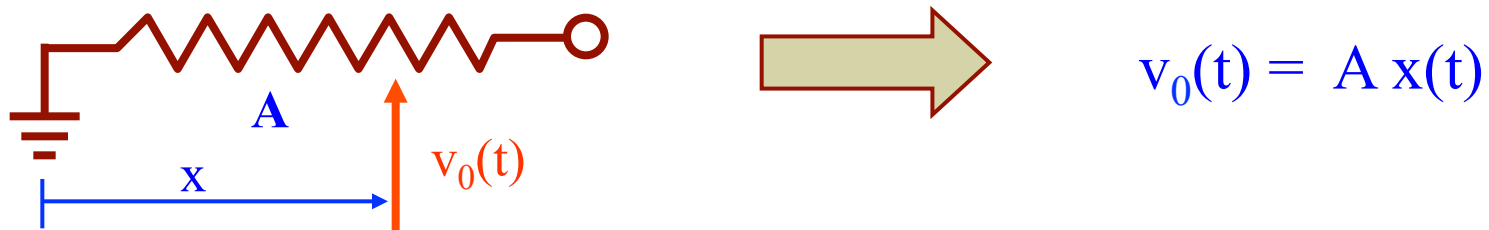
Amplificador operacional



Amplificador operacional inverso

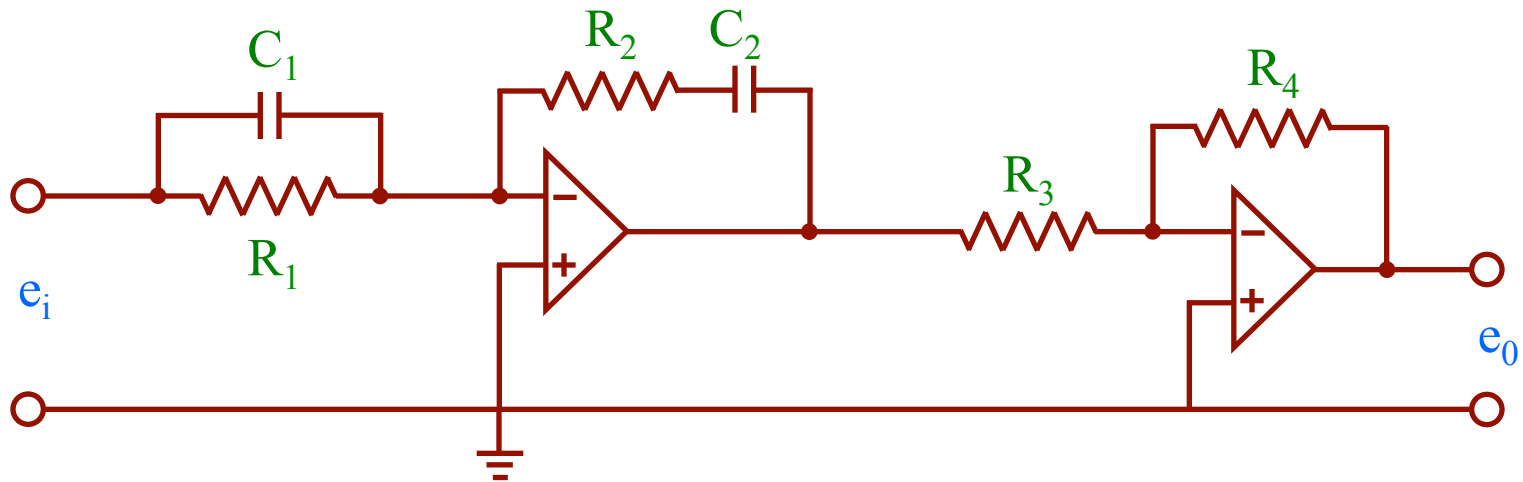


Potenciómetro



Modelado de sistemas

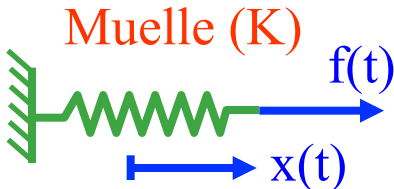
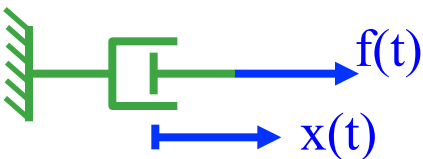
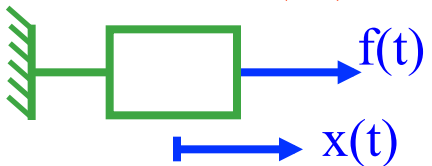
Controlador PID (ideal)



$$\frac{E_0(s)}{E_i(s)} = \underbrace{\frac{R_4 \cdot (R_1 \cdot C_1 + R_2 \cdot C_2)}{R_3 \cdot R_1 \cdot C_2}}_P + \underbrace{\frac{R_4}{R_3 \cdot R_1 \cdot C_2 \cdot s}}_I + \underbrace{\frac{R_4 \cdot R_2 \cdot C_1 \cdot s}{R_3}}_D$$

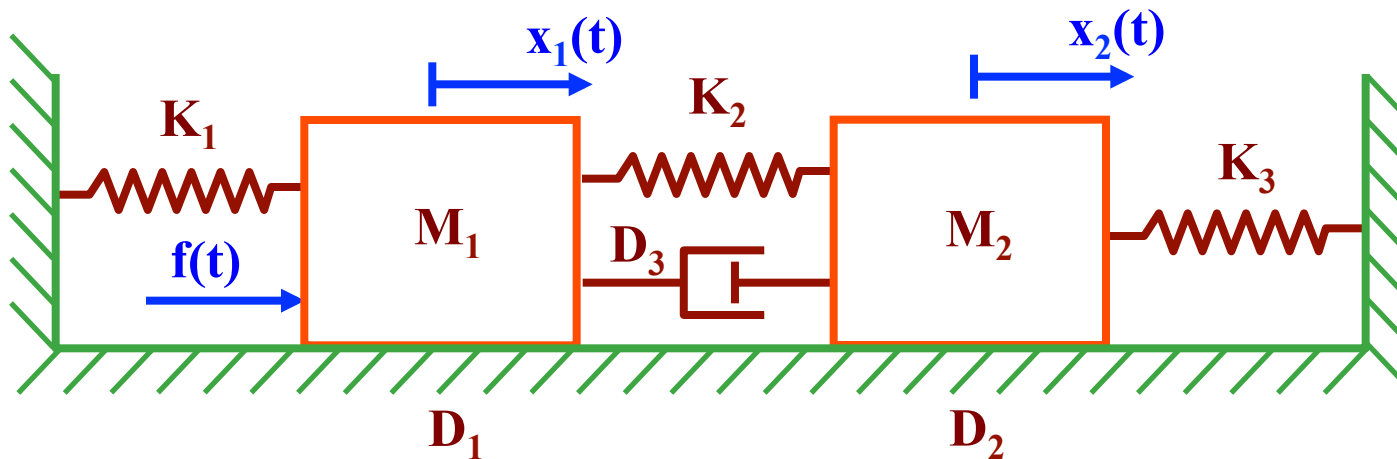
Modelado de sistemas

Modelado Mecánico: (Traslacional)

Componente	Fuerza - Velocidad	Fuerza - Desplazamiento	Impedancia F(s)/X(s)	
<p>Muelle (K)</p> 	$f(t) = K \int_0^t v(\tau) d\tau$	$f(t) = K \cdot x(t)$	K	<p>f(t): Newtons</p> <p>x(t): Metros</p>
<p>Amortiguamiento (D)</p> 	$f(t) = D \cdot v(t)$	$f(t) = D \frac{dx(t)}{dt}$	$D \cdot s$	<p>v(t): m/s</p> <p>D: N.s/m</p>
<p>Masa (M)</p> 	$f(t) = M \frac{dv(t)}{dt}$	$f(t) = M \frac{d^2 x(t)}{dt^2}$	$M \cdot s^2$	<p>K: N/m</p> <p>M: Kilogramos</p>

Modelado de sistemas

Ejemplo:



$$\sum \text{Imped}_1 \cdot X_1(s) - \sum \text{Imped}_{1-2} \cdot X_2(s) = \sum \text{Fuerzas}_1$$

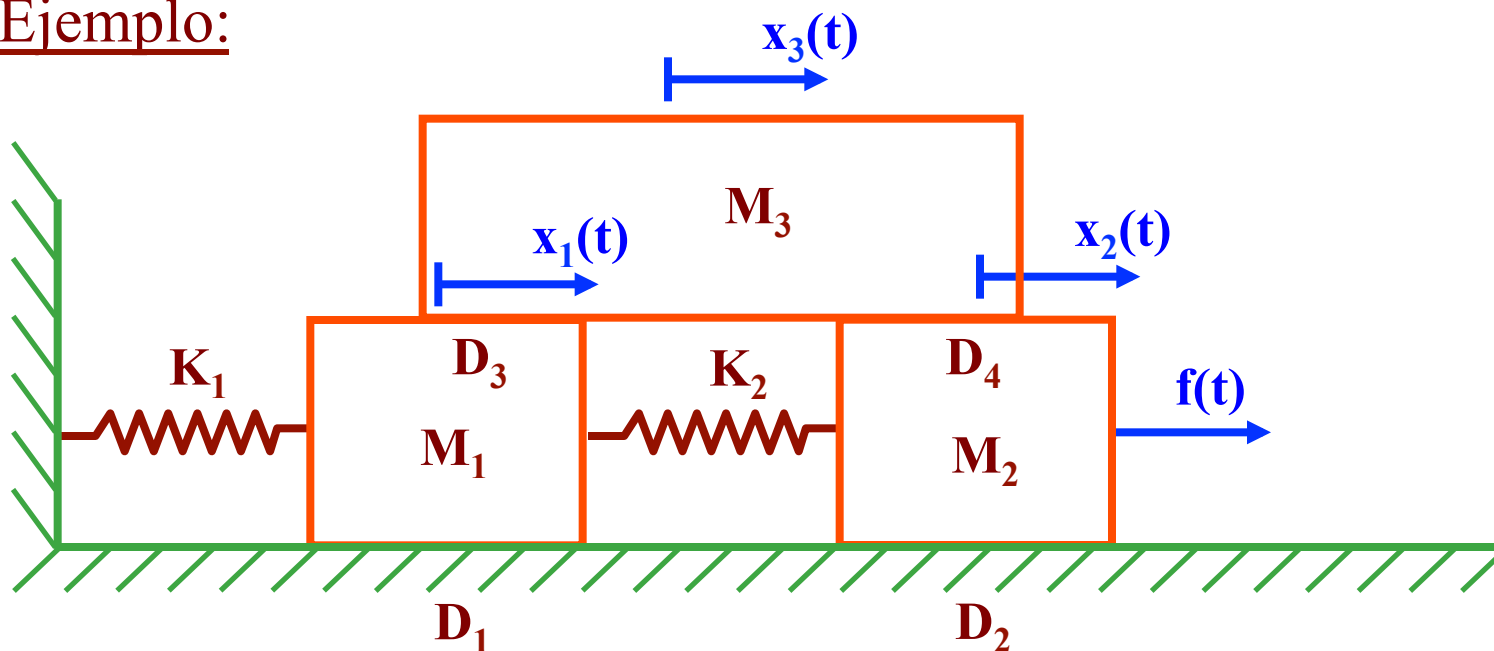
$$- \sum \text{Imped}_{2-1} \cdot X_1(s) + \sum \text{Imped}_2 \cdot X_2(s) = \sum \text{Fuerzas}_2$$

$$(M_1 \cdot s^2 + (D_1 + D_3) \cdot s + K_1 + K_2) \cdot X_1(s) - (D_3 \cdot s + K_2) \cdot X_2(s) = F(s)$$

$$- (D_3 \cdot s + K_2) \cdot X_1(s) + (M_2 \cdot s^2 + (D_2 + D_3) \cdot s + K_2 + K_3) \cdot X_2(s) = 0$$

Modelado de sistemas

Ejemplo:



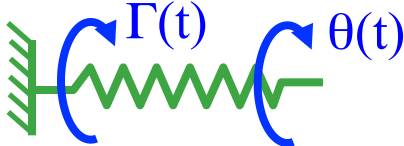
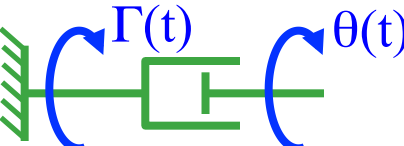
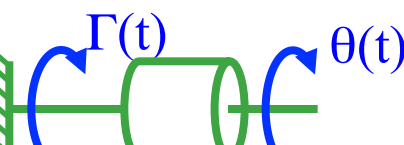
$$(M_1 \cdot s^2 + (D_1 + D_3) \cdot s + K_1 + K_2) \cdot X_1(s) - K_2 \cdot X_2(s) - D_3 \cdot s \cdot X_3(s) = 0$$

$$-K_2 \cdot X_1(s) + (M_2 \cdot s^2 + (D_2 + D_4) \cdot s + K_2) \cdot X_2(s) - D_4 \cdot s \cdot X_3(s) = F(s)$$

$$-D_3 \cdot s \cdot X_1(s) - D_4 \cdot s \cdot X_2(s) + (M_3 \cdot s^2 + (D_3 + D_4) \cdot s) \cdot X_3(s) = 0$$

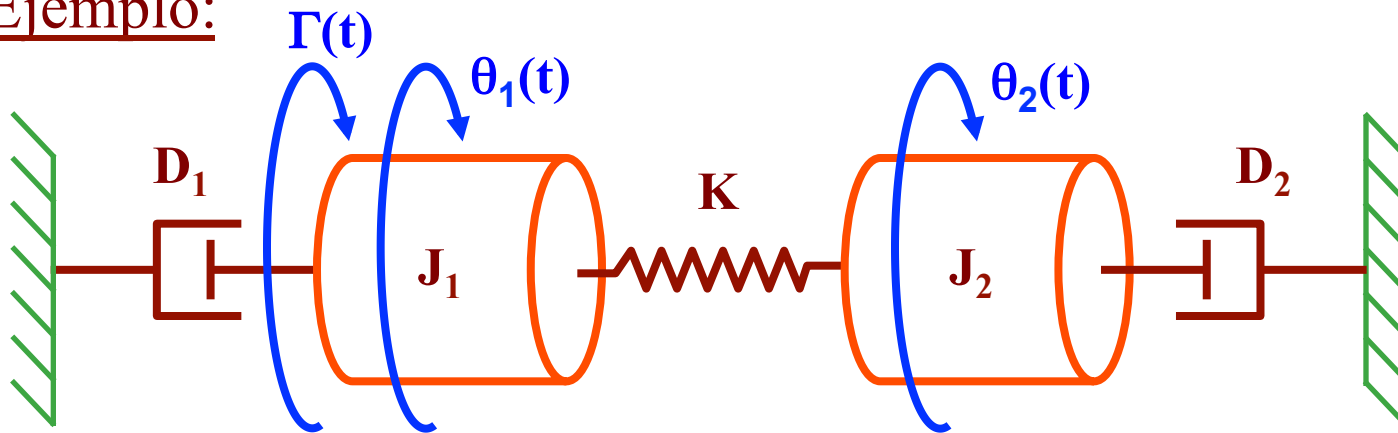
Modelado de sistemas

Modelado Mecánico: (Rotacional)

Componente	Par – Vel. ang.	Par - Ángulo	Impedancia $\Gamma(s)/\Theta (s)$	
<p>Muelle (K)</p> 	$\Gamma(t) = K \int_0^t \omega(\tau) d\tau$	$\Gamma(t) = K \cdot \theta(t)$	K	<p>$\Gamma(t)$: N.m</p> <p>$\theta(t)$: Rad</p>
<p>Amortiguamiento (D)</p> 	$\Gamma(t) = D \cdot \omega(t)$	$\Gamma(t) = D \frac{d\theta(t)}{dt}$	$D \cdot s$	<p>$\omega(t)$: rad/s</p> <p>D: N.m.s/rad</p>
<p>Inercia (J)</p> 	$\Gamma(t) = J \frac{d\omega(t)}{dt}$	$\Gamma(t) = J \frac{d^2\theta(t)}{dt^2}$	$J \cdot s^2$	<p>K: N.m/rad</p> <p>J: kg.m²</p>

Modelado de sistemas

Ejemplo:



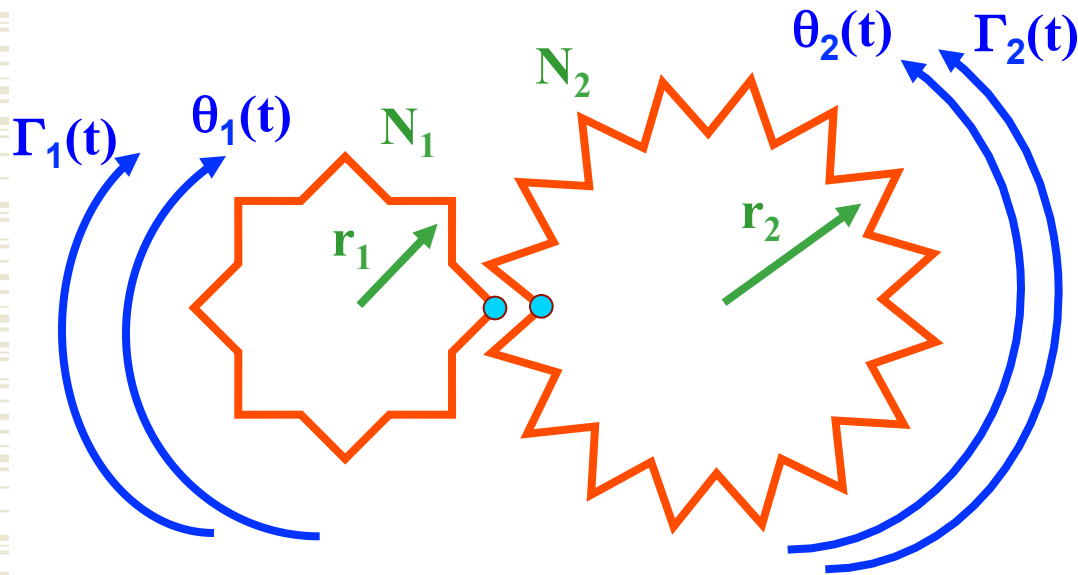
$$\begin{aligned} \sum \text{Imped}_1 \cdot \theta_1(s) - \sum \text{Imped}_{1-2} \cdot \theta_2(s) &= \sum \text{Pares}_1 \\ - \sum \text{Imped}_{2-1} \cdot \theta_1(s) + \sum \text{Imped}_2 \cdot \theta_2(s) &= \sum \text{Pares}_2 \end{aligned}$$

$$(J_1 \cdot s^2 + D_1 \cdot s + K) \cdot \Theta_1(s) - K \cdot \Theta_2(s) = \Gamma(s)$$

$$- K \cdot \Theta_1(s) + (J_2 \cdot s^2 + D_2 \cdot s + K) \cdot \Theta_2(s) = 0$$

Modelado de sistemas

Trenes de engranaje (reductoras)



$$r_1 \cdot \theta_1(t) = r_2 \cdot \theta_2(t)$$

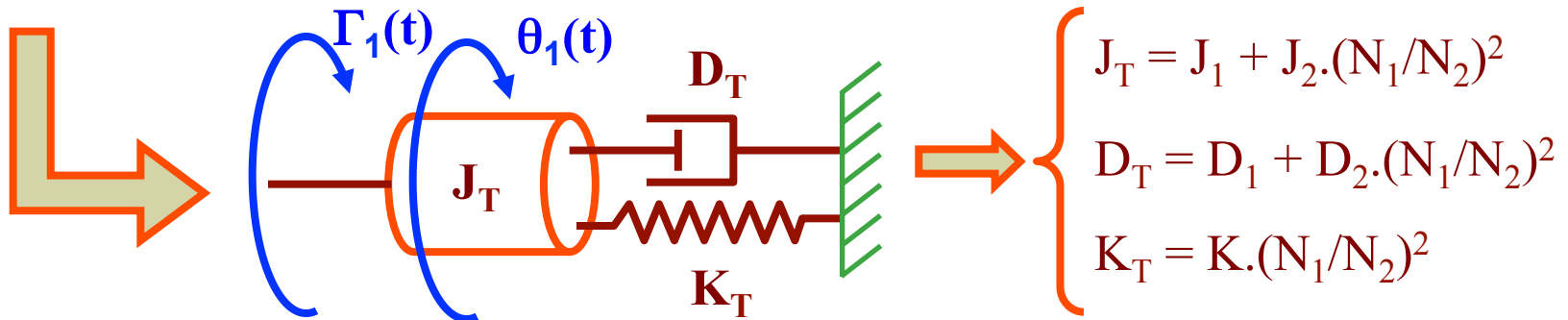
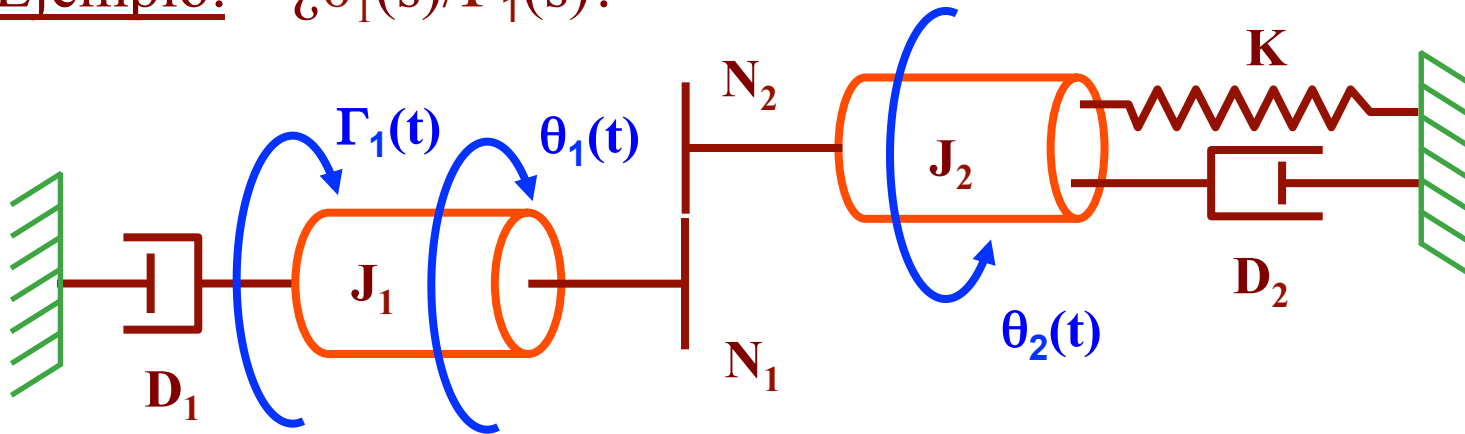
$$\frac{\theta_2(t)}{\theta_1(t)} = \frac{r_1}{r_2} = \frac{N_1}{N_2} = \frac{\Gamma_1(t)}{\Gamma_2(t)}$$

Propiedad: la impedancia de sistemas rotacionales se transmite a través de trenes de engranajes multiplicándola por:

$$\left(\frac{\text{N}^\circ \text{ dientes de destino}}{\text{N}^\circ \text{ dientes de inicio}} \right)^2$$

Modelado de sistemas

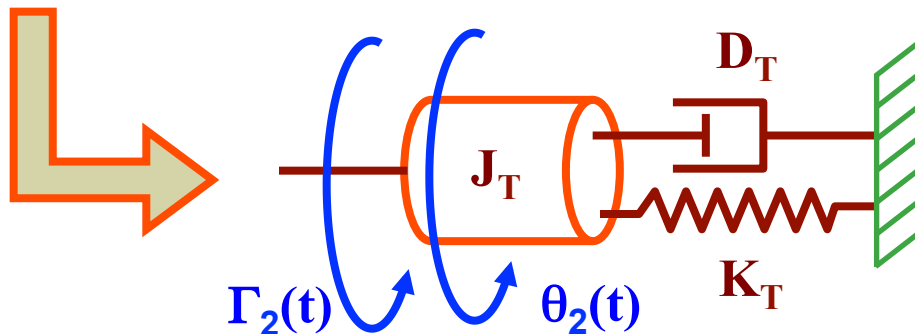
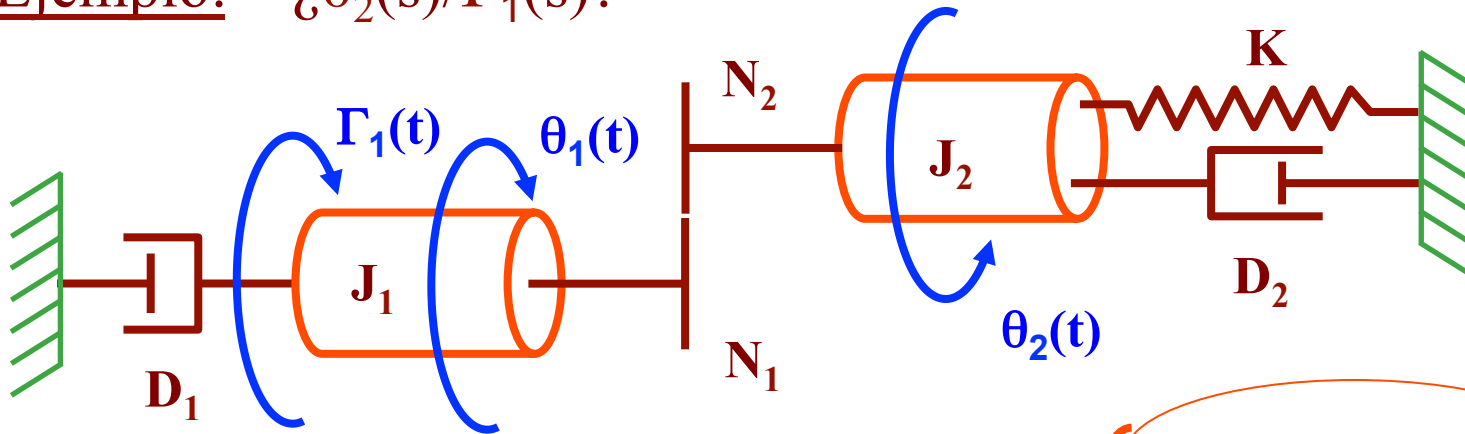
Ejemplo: $\theta_1(s)/\Gamma_1(s)$?



$$\Rightarrow (J_T \cdot s^2 + D_T \cdot s + K_T) \cdot \Theta_1(s) = \Gamma_1(s) \Rightarrow \frac{\Theta_1(s)}{\Gamma_1(s)} = \frac{1}{J_T \cdot s^2 + D_T \cdot s + K_T}$$

Modelado de sistemas

Ejemplo: $\dot{\theta}_2(s)/\Gamma_1(s)$?



$$\Gamma_2(t) = \Gamma_1(t) \cdot N_2/N_1$$

$$J_T = J_1 \cdot (N_2/N_1)^2 + J_2$$

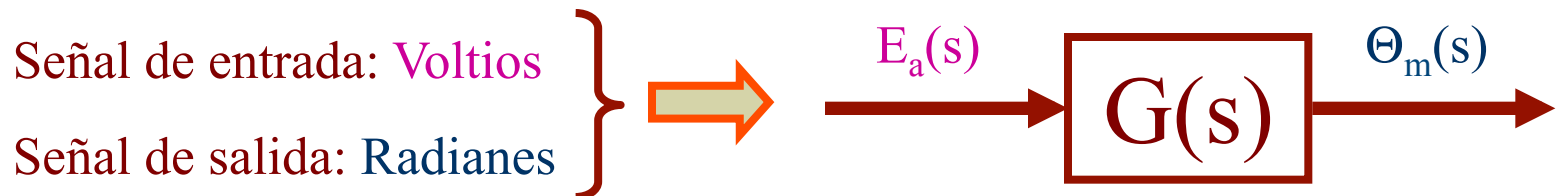
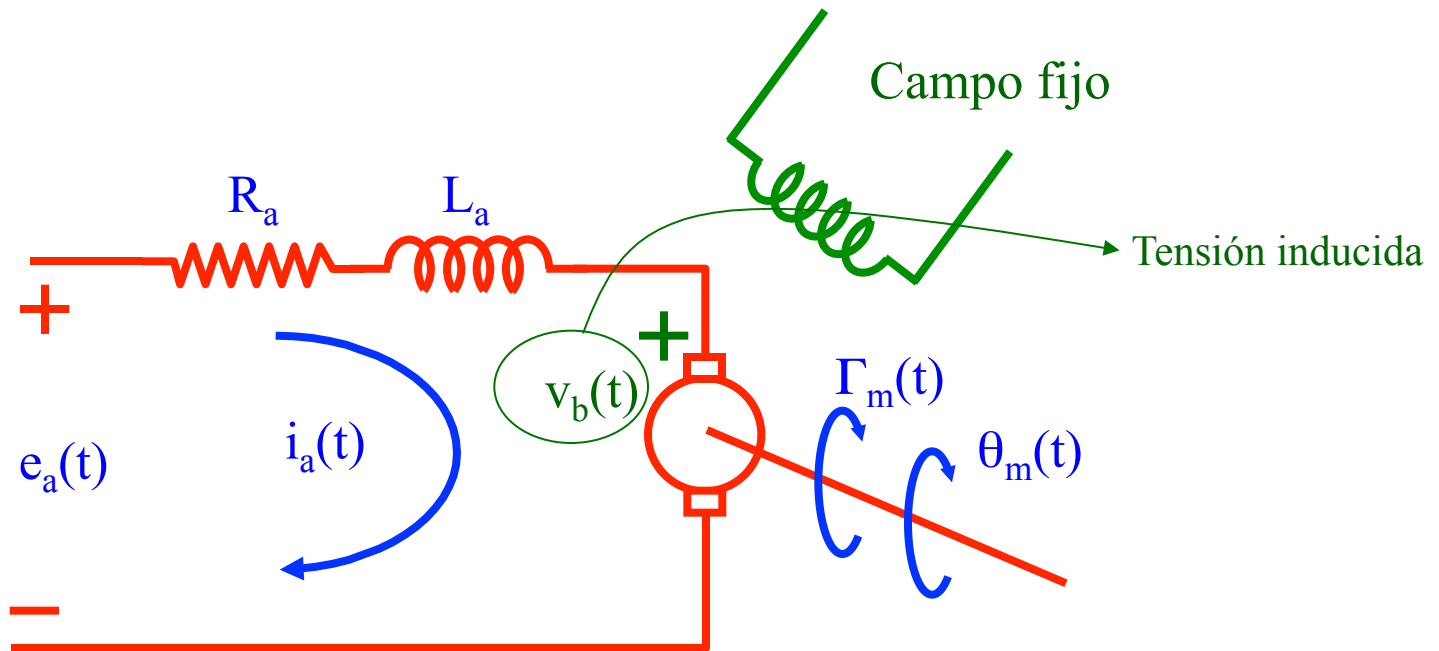
$$D_T = D_1 \cdot (N_2/N_1)^2 + D_2$$

$$K_T = K$$

$$\Rightarrow (J_T \cdot s^2 + D_T \cdot s + K_T) \cdot \Theta_2(s) = \Gamma_2(s) \Rightarrow \frac{\Theta_2(s)}{\Gamma_1(s)} = \frac{N_2/N_1}{J_T \cdot s^2 + D_T \cdot s + K_T}$$

Modelado de sistemas

Modelado Electro-Mecánico: (Motor controlado por inducido)



Modelado de sistemas

Modelado Electro-Mecánico: (Motor controlado por inducido)

$$v_b(t) = K_b \frac{d\theta_m(t)}{dt} \implies V_b(s) = K_b \cdot s \cdot \Theta_m(s) \text{ siendo } K_b \text{ la cte. de fuerza contraelectrom.}$$

$$R_a \cdot i_a(t) + L_a \frac{di_a(t)}{dt} + v_b(t) = e_a(t) \implies (R_a + L_a \cdot s) \cdot I_a(s) + V_b(s) = E_a(s)$$

$$\Gamma_m(t) = K_t \cdot i_a(t) \implies \Gamma_m(s) = K_t \cdot I_a(s) \text{ siendo } K_t \text{ la cte. de par}$$



$$E_a(s) = \frac{R_a + L_a \cdot s}{K_t} \Gamma_m(s) + K_b \cdot s \cdot \Theta_m(s) \quad \text{PARTE ELÉCTRICA}$$

Modelado de sistemas

Modelado Electro-Mecánico: (Motor controlado por inducido)

$$\Gamma_m(t) = J_m \frac{d^2\theta_m(t)}{dt^2} + D_m \frac{d\theta_m(t)}{dt} \quad \Rightarrow \quad \Gamma_m(s) = (J_m \cdot s^2 + D_m \cdot s) \cdot \Theta_m(s)$$

PARTE MECÁNICA

PARTE ELÉCTRICA + PARTE MECÁNICA

$$E_a(s) = \frac{R_a + L_a \cdot s}{K_t} \left((J_m \cdot s^2 + D_m \cdot s) \cdot \Theta_m(s) + K_b \cdot s \cdot \Theta_m(s) \right) \quad \xrightarrow{L_a \ll R_a}$$

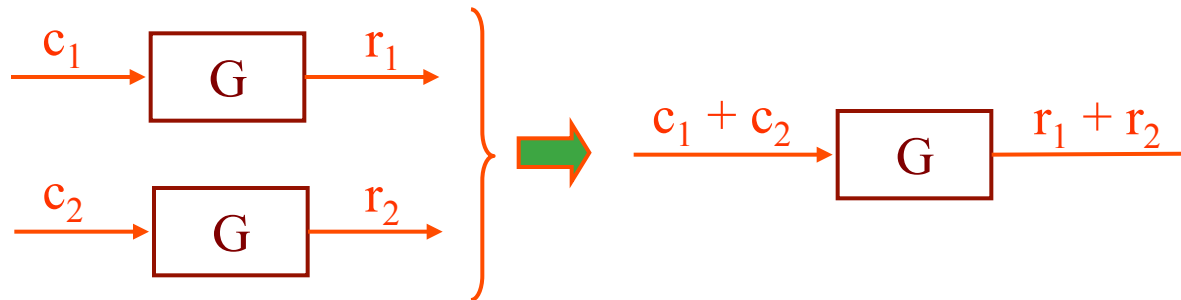
$$\Rightarrow \frac{\Theta_m(s)}{E_a(s)} = \frac{K_t / (R_a \cdot J_m)}{s \left[s + \frac{1}{J_m} \left(D_m + \frac{K_t \cdot K_b}{R_a} \right) \right]} = \frac{K}{s \cdot (s + a)}$$

Linealización

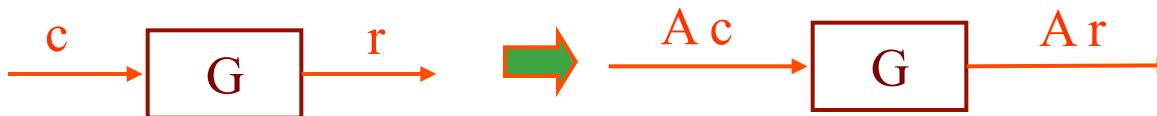
Los sistemas lineales son más sencillos de controlar

Cumplen dos propiedades:

➤ Superposición:

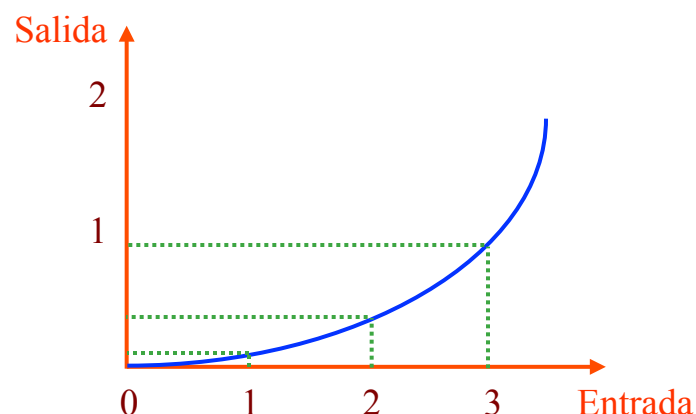
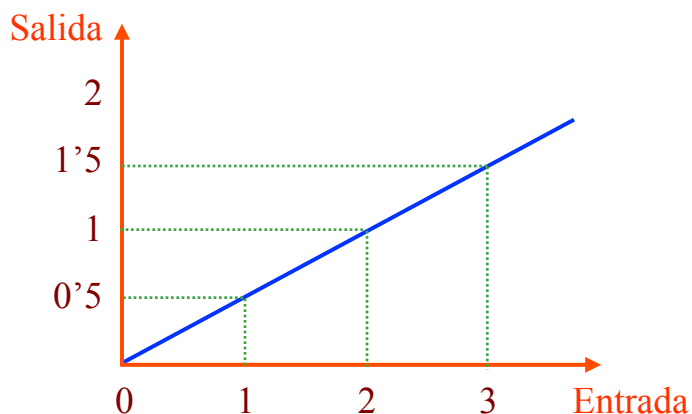


➤ Homogeneidad:



Linealización

De forma gráfica:



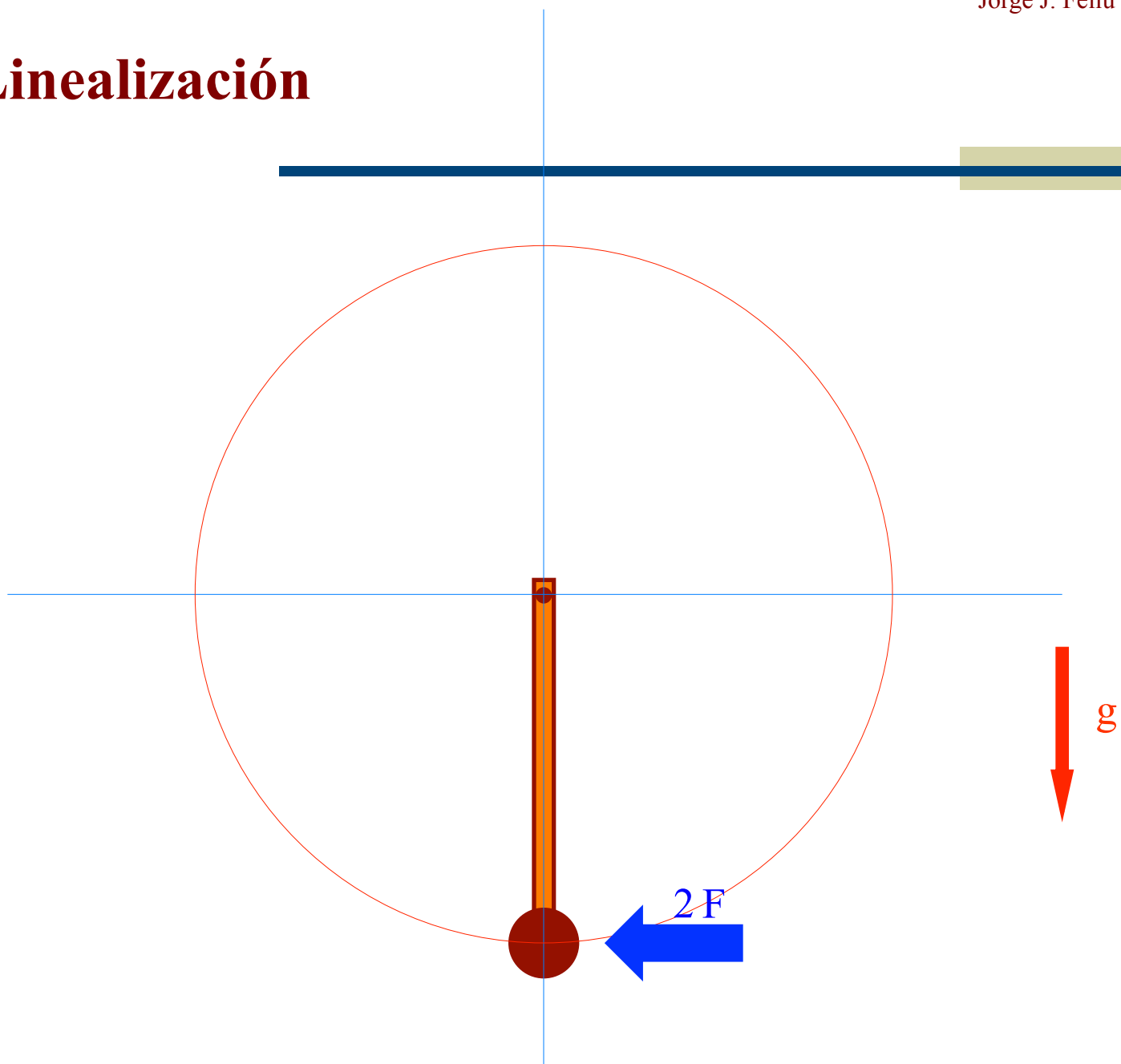
Entrada = 1 → Salida = 0'5

Entrada = 2 → Salida = 1

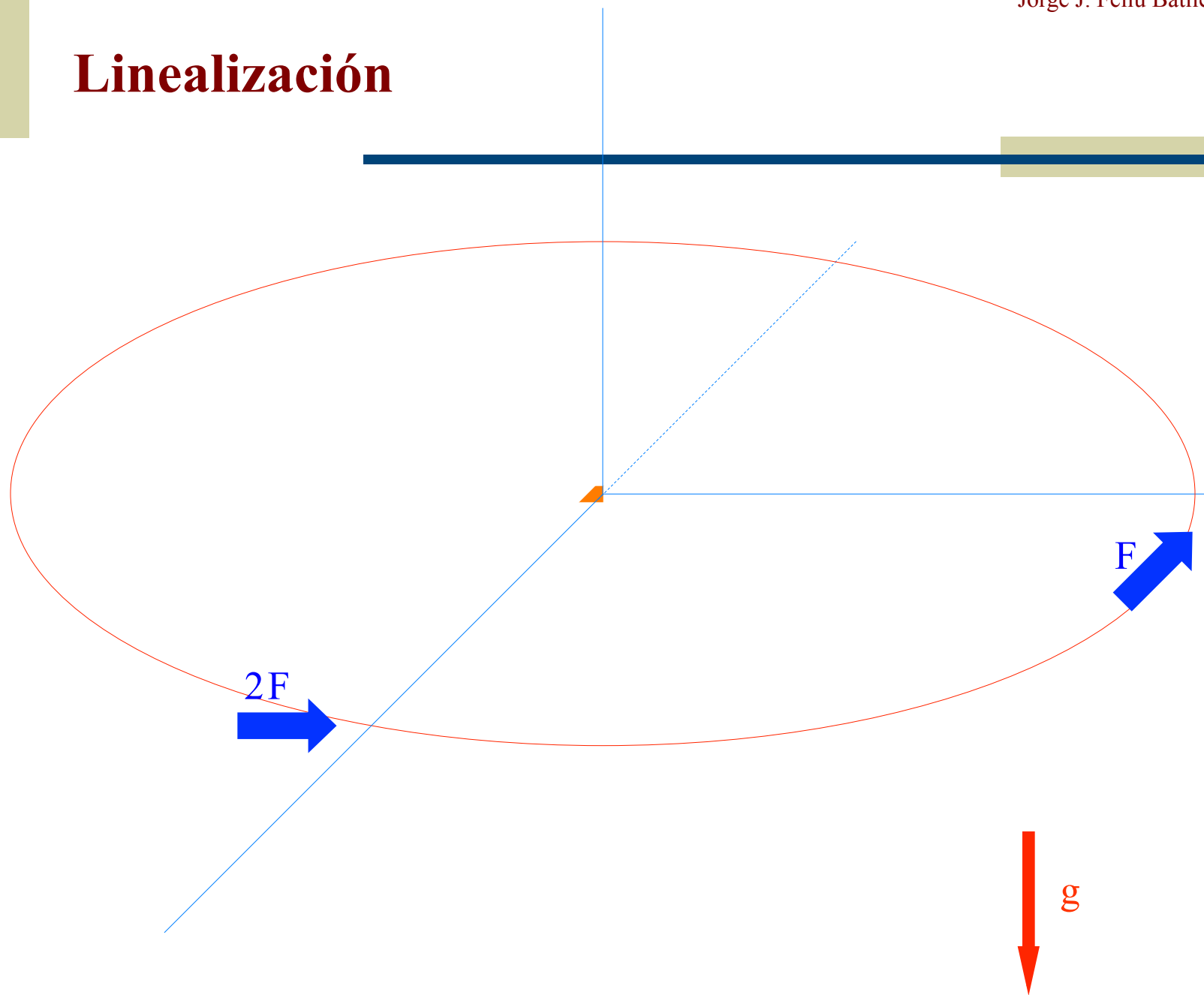
Entrada = 1 + 2 = 3 → Salida = 1 + 0'5 = 1'5 → Superposición

Entrada = 0'5 · 2 = 1 → Salida = 0'5 · 1 = 0'5 → Homogeneidad

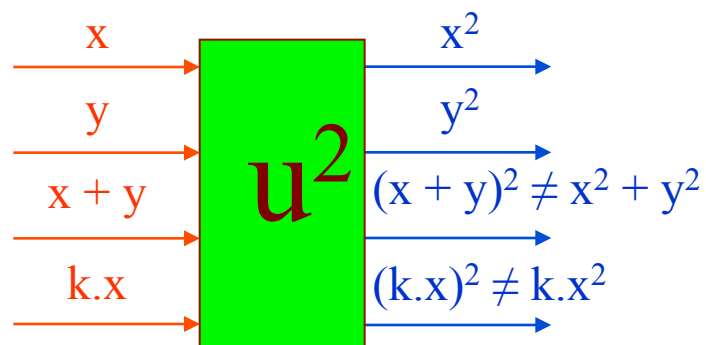
Linealización



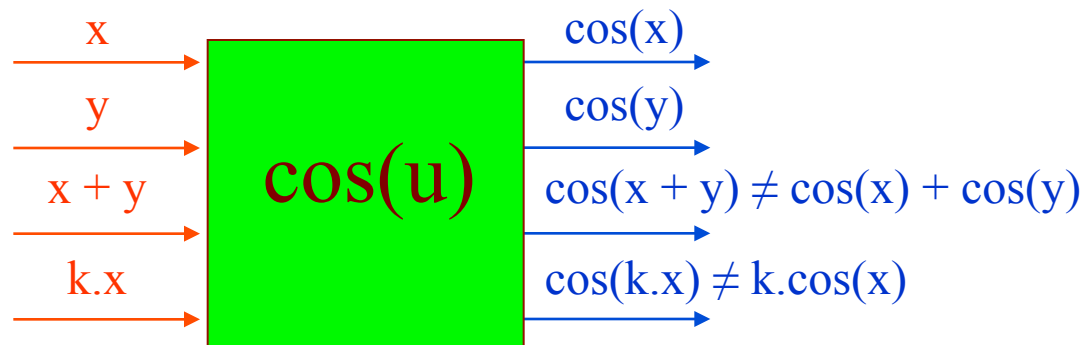
Linealización



Linealización

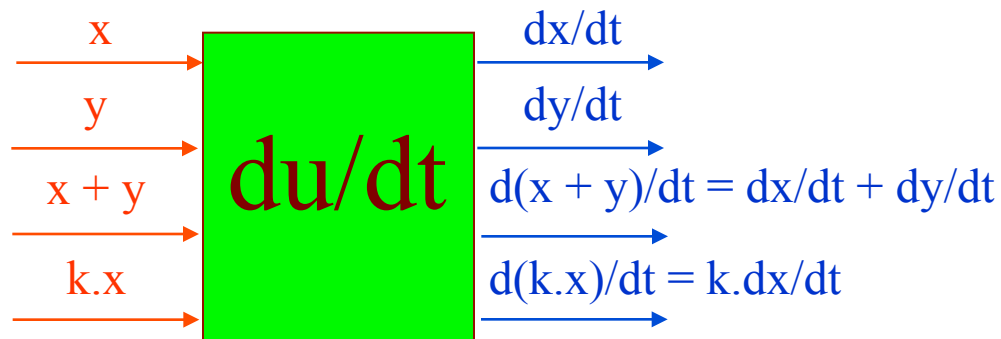


No lineal

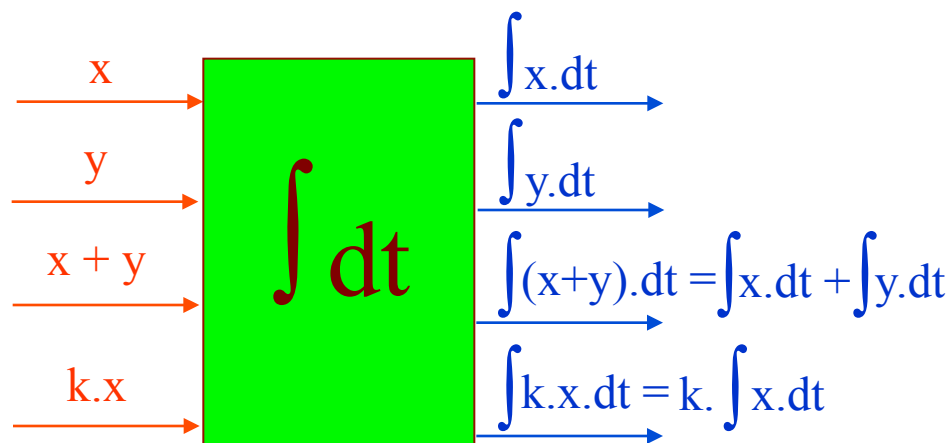


No lineal

Linealización



Sí lineal



Sí lineal

Linealización

Ejemplos de ecuaciones NO lineales:

$$x^2 + y + \cos(x) = 0$$

$$\ln(x) - 5 + \dot{x} = 0$$

$$x \cdot u + \ddot{u} + \dot{x} = 3$$

$$e^u - 3 + u + x = 0$$

⋮

De forma general:

- ✓ Términos trigonométricos
- ✓ Exponenciales y logaritmos
- ✓ Productos de funciones
- ✓ Constantes sueltas
- ✓ etc

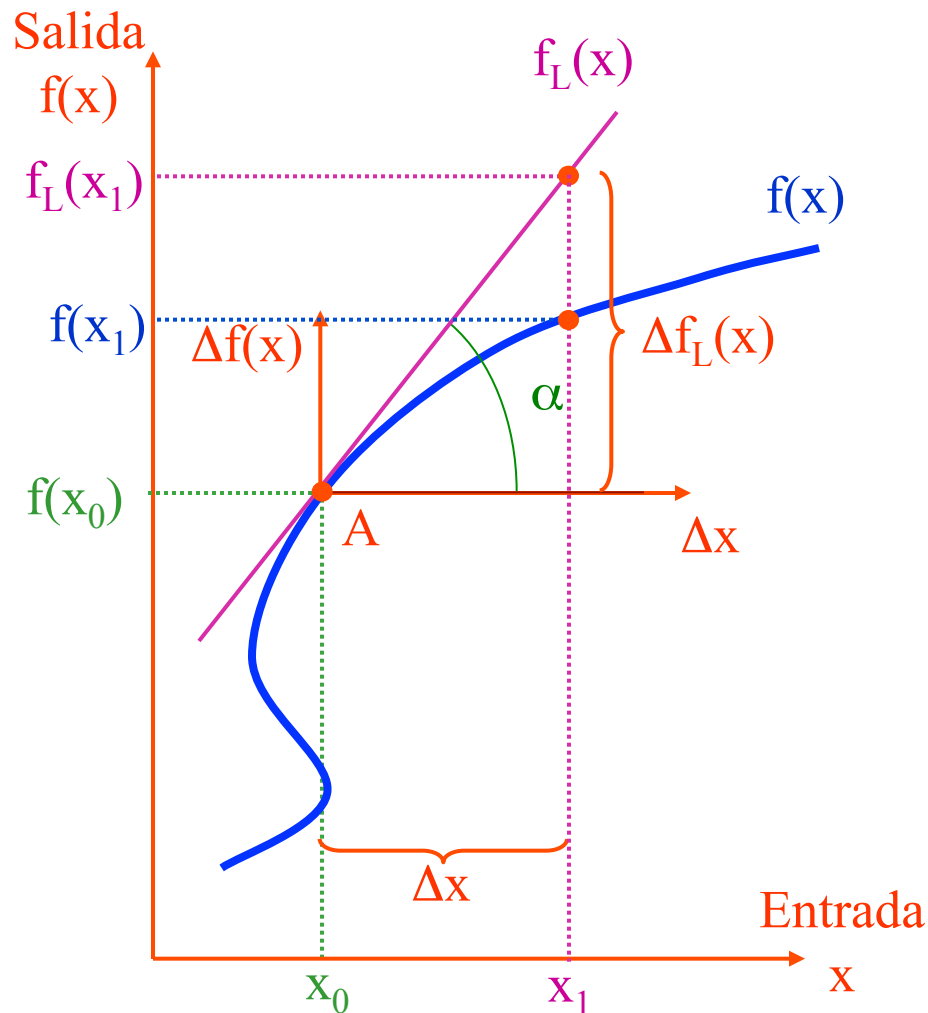
Ejemplos de ecuaciones SÍ lineales:

$$x + 7y + 3z = 0$$

$$x - \ddot{z} + \dot{x} = 0$$

Linealización

Procedimiento



$$\text{tg}(\alpha) = \Delta f_L(x) / \Delta x$$



$$\underbrace{\Delta f_L(x)}_{f_L(x_1) - f(x_0)} = \underbrace{\text{tg}(\alpha)}_{m_A} \underbrace{\Delta x}_{(x_1 - x_0)}$$



$$f_L(x_1) = f(x_0) + m_A(x_1 - x_0)$$

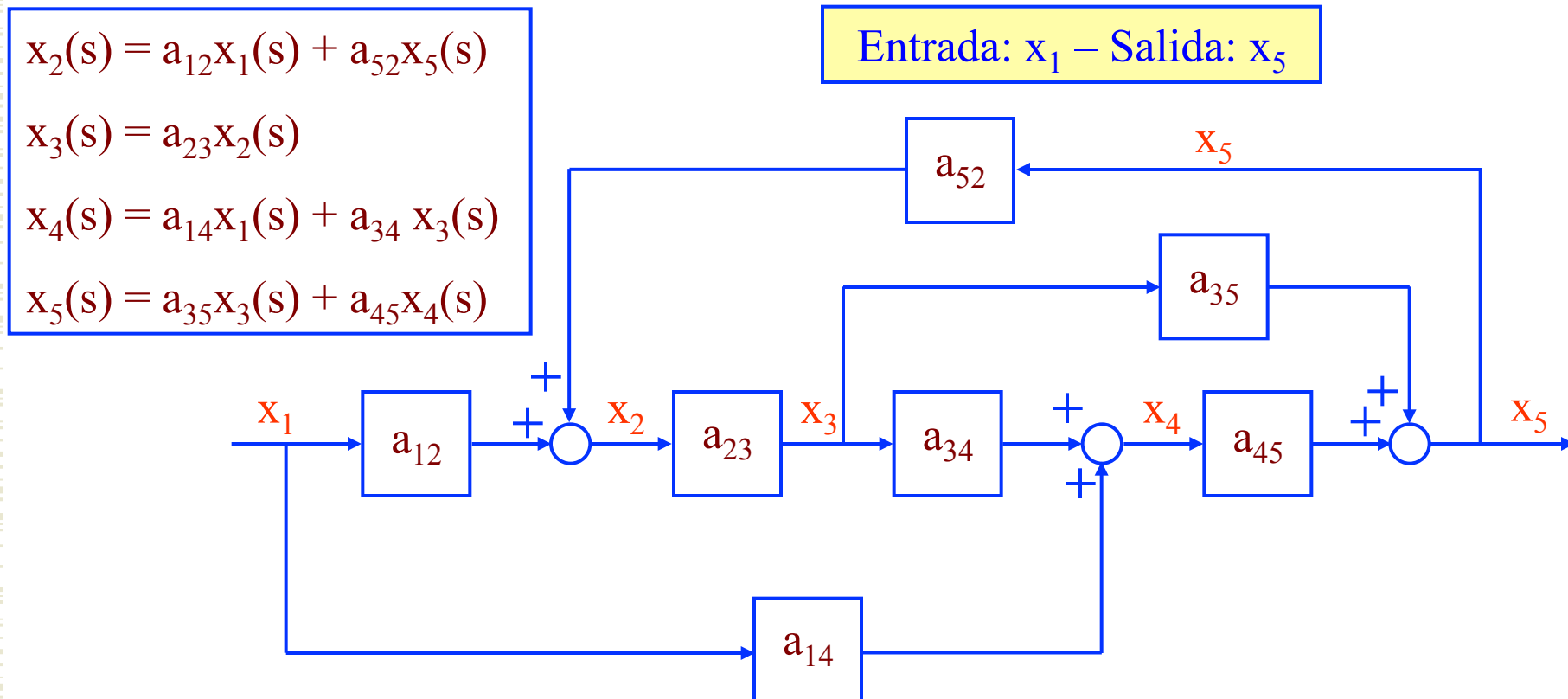


$$f_L(x_1) = f(x_0) + \left. \frac{df(x)}{dx} \right|_{x=x_0} (x_1 - x_0)$$

Reducción de Sistemas

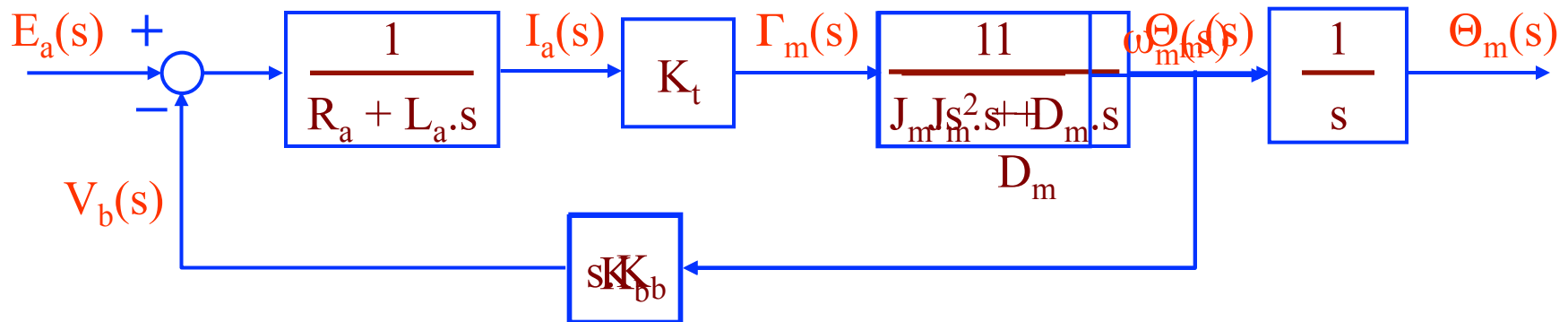
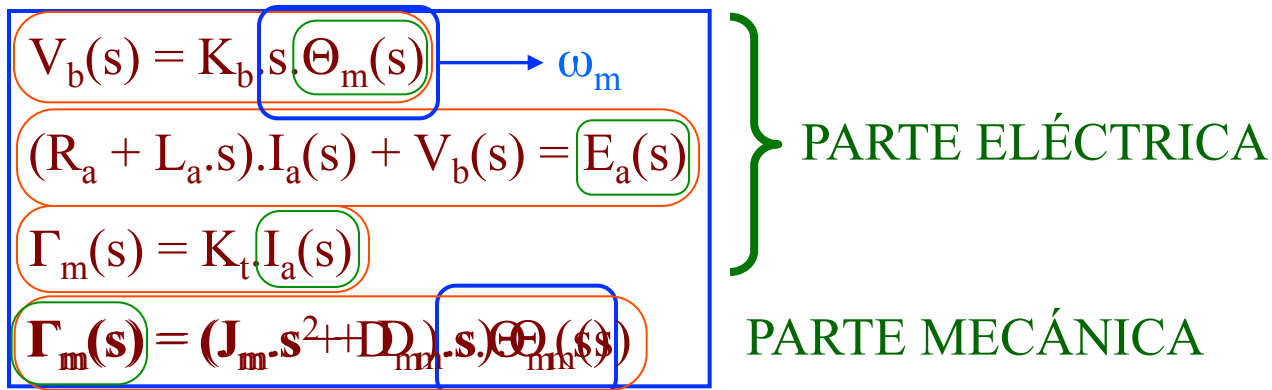
Diagramas de bloques

Es una representación gráfica de la relación entre los diferentes subsistemas y las **señales** que intervienen en un sistema complejo



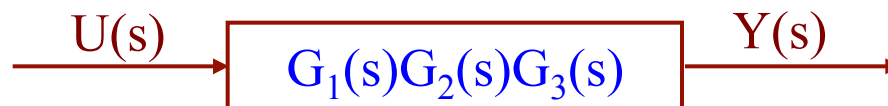
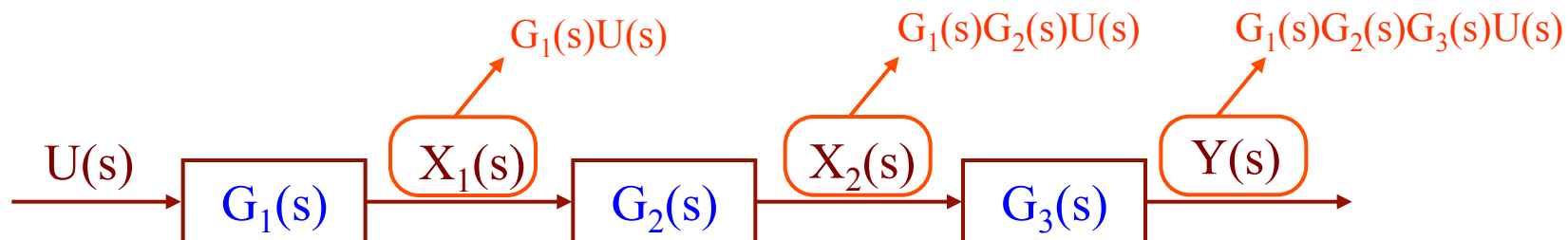
Reducción de Sistemas

Diagrama de bloques de un motor controlado por inducido



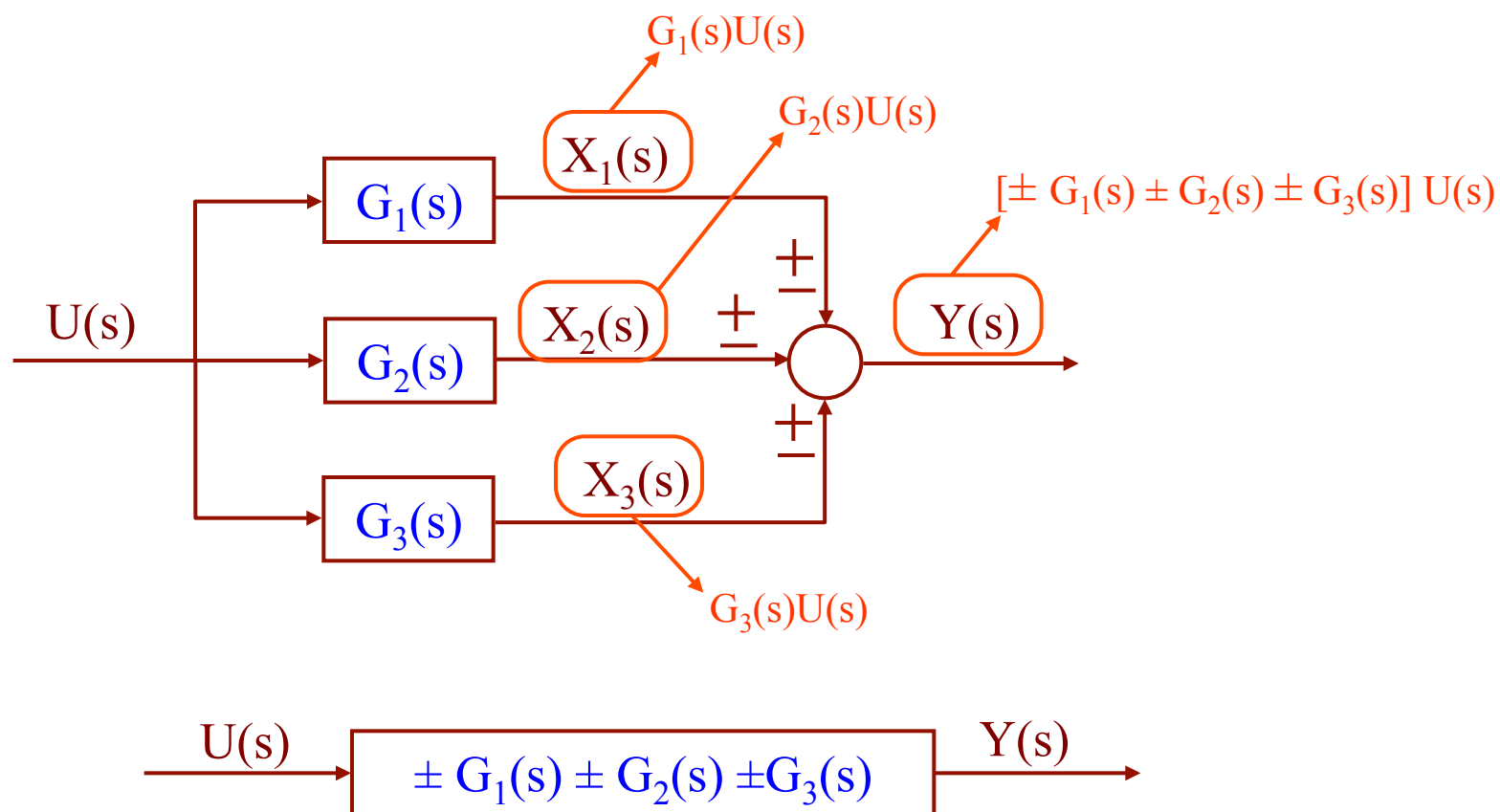
Reducción de Sistemas

Bloques en serie:



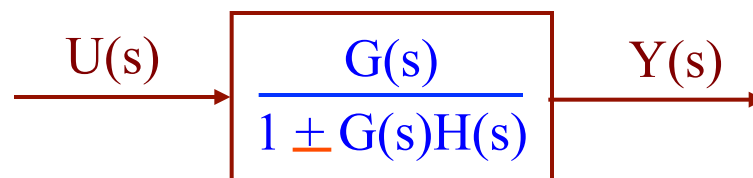
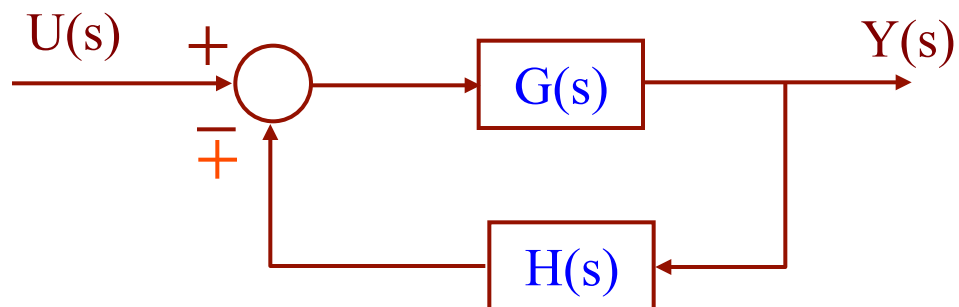
Reducción de Sistemas

Bloques en paralelo:



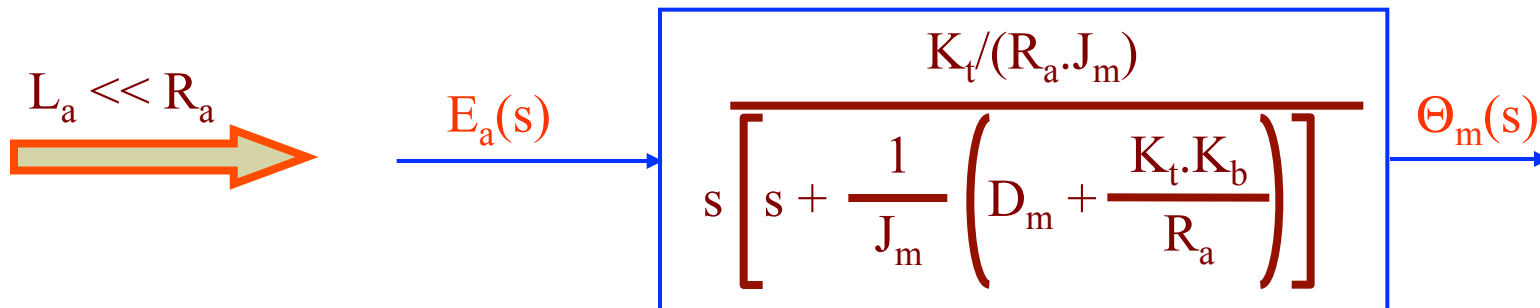
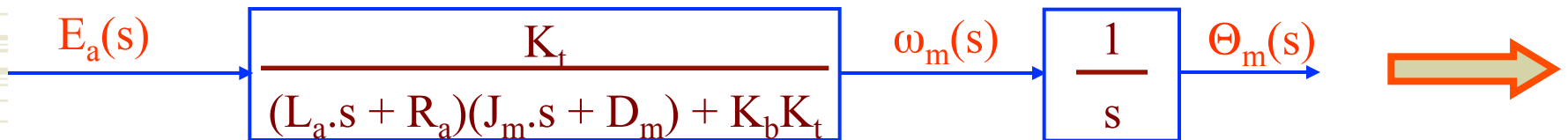
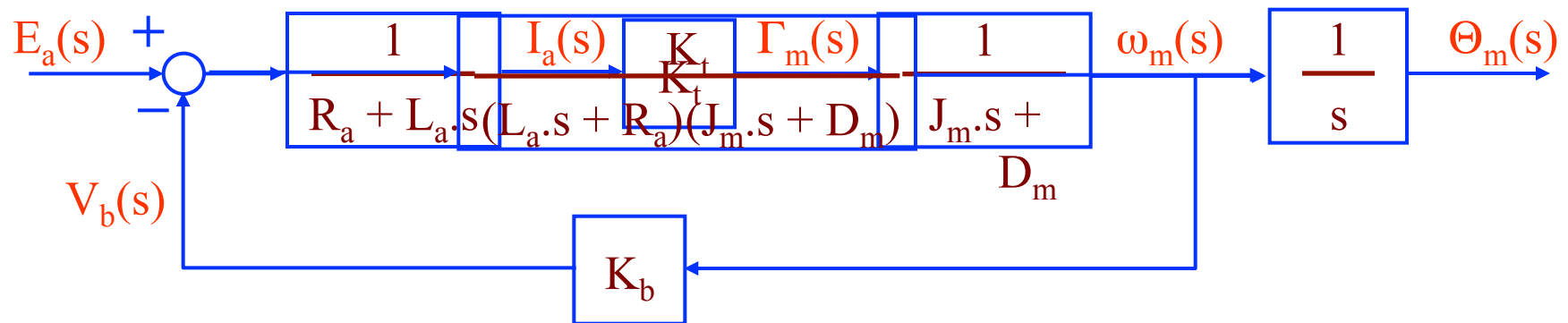
Reducción de Sistemas

Realimentación:



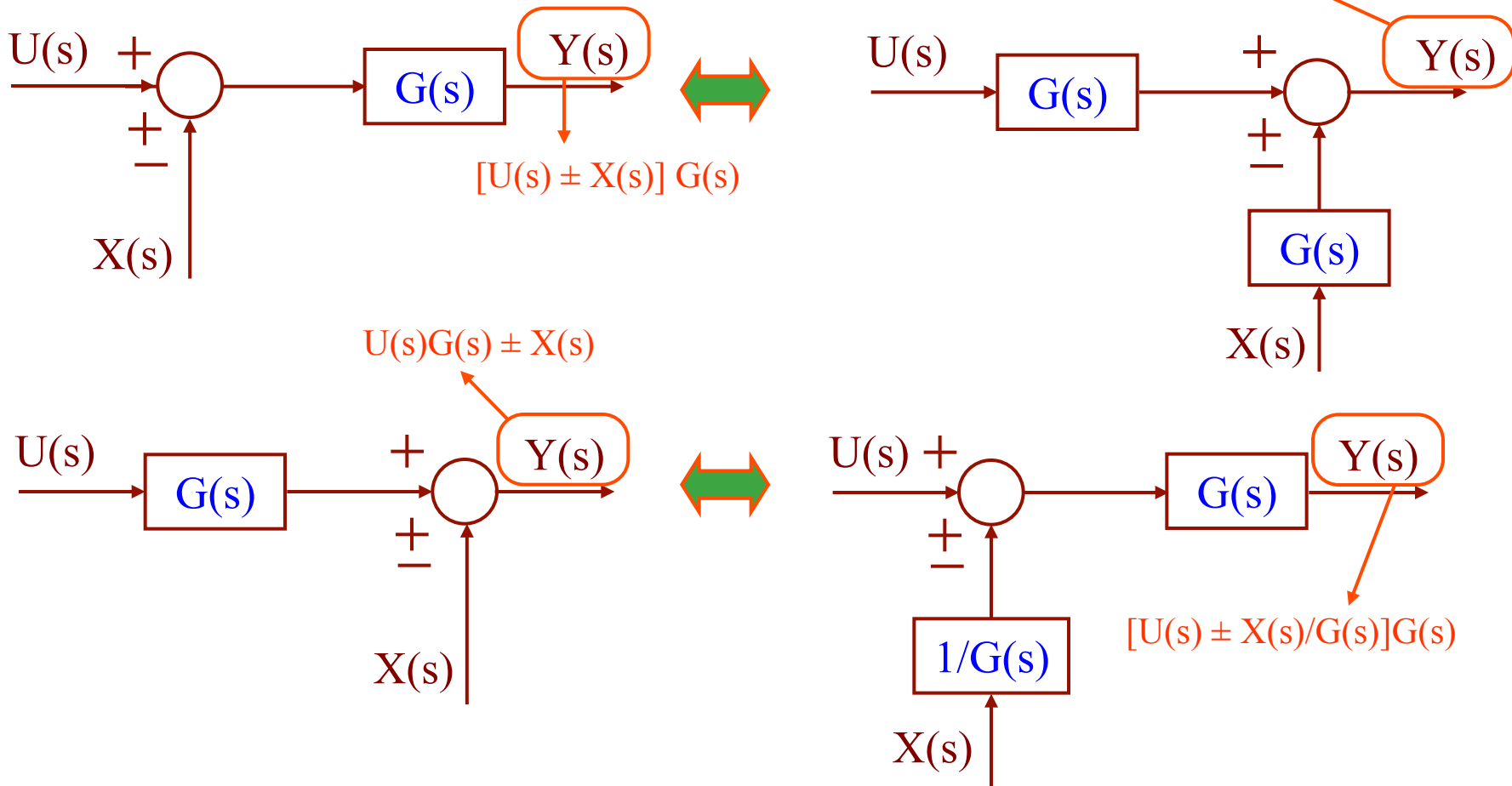
Reducción de Sistemas

Simplificación del diagrama de bloques de un motor controlado por inducido



Reducción de Sistemas

Algunas equivalencias:



Reducción de Sistemas

Diagramas de flujo (flujogramas)

Es una representación dual del diagrama de bloques

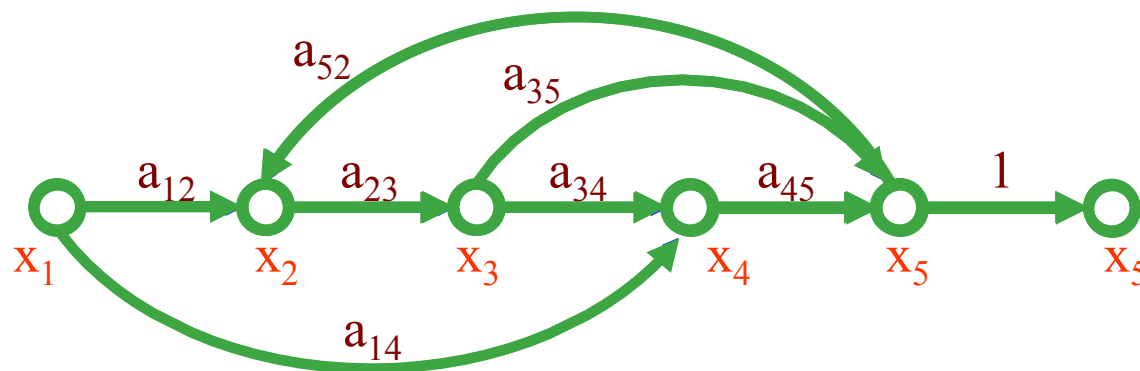
Entrada: x_1 – Salida: x_5

$$x_2(s) = a_{12}x_1(s) + a_{52}x_5(s)$$

$$x_3(s) = a_{23}x_2(s)$$

$$x_4(s) = a_{14}x_1(s) + a_{34}x_3(s)$$

$$x_5(s) = a_{35}x_3(s) + a_{45}x_4(s)$$



Nodo fuente: nodo del que sólo parten ramas: x_1

Nodo final: nodo al que sólo llegan ramas: x_5

Trayecto directo: trayecto que parte de un nodo fuente y llega a un nodo final sin pasar dos veces por el mismo nodo: $a_{12}a_{23}a_{34}a_{45}$, $a_{12}a_{23}a_{35}$, $a_{14}a_{45}$

Bucle: trayecto que comienza y termina en el mismo nodo sin pasar dos veces por ningún otro nodo:

$$a_{23}a_{34}a_{45}a_{52}, a_{23}a_{35}a_{52}$$

Reducción de Sistemas

Flujograma de un motor controlado por inducido

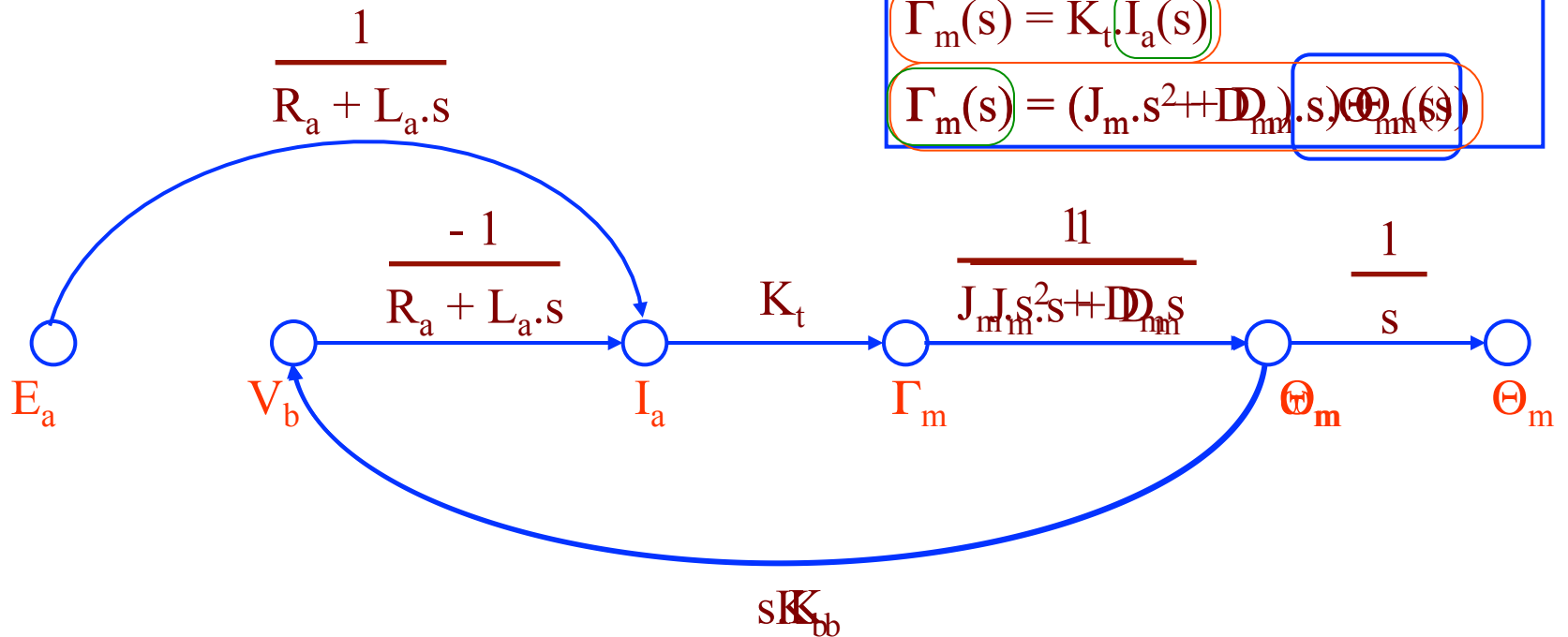
Entrada: E_a – Salida: Θ_m

$$V_b(s) = K_b \cdot s \cdot \Theta_m(s) \rightarrow \omega_m$$

$$(R_a + L_a \cdot s) \cdot I_a(s) + V_b(s) = E_a(s)$$

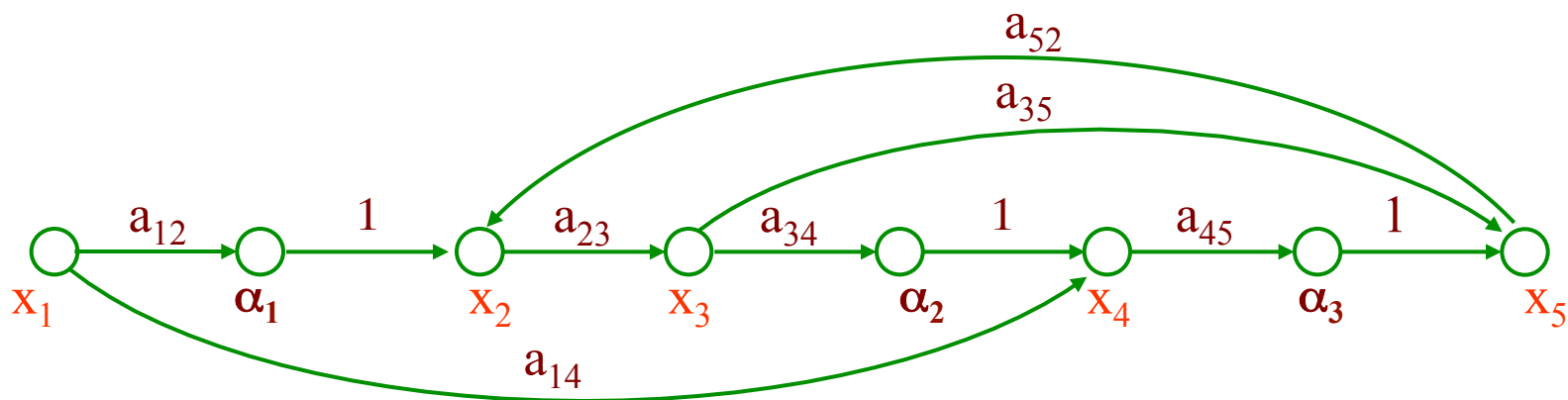
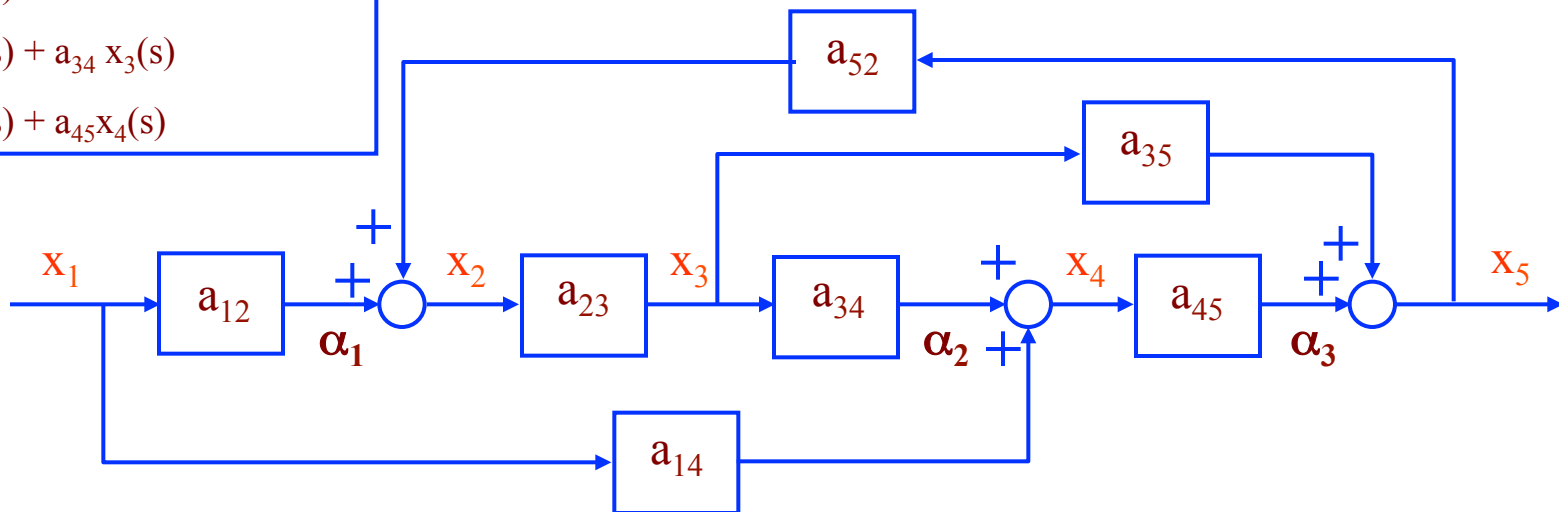
$$\Gamma_m(s) = K_t \cdot I_a(s)$$

$$\Gamma_m(s) = (J_m \cdot s^2 + D_m \cdot s) \cdot \Theta_m(s)$$



Reducción de Sistemas

$$\begin{aligned}
 x_2(s) &= a_{12}x_1(s) + a_{52}x_5(s) \\
 x_3(s) &= a_{23}x_2(s) \\
 x_4(s) &= a_{14}x_1(s) + a_{34}x_3(s) \\
 x_5(s) &= a_{35}x_3(s) + a_{45}x_4(s)
 \end{aligned}$$



Reducción de Sistemas

Regla de Mason:

Sirve para calcular la f.d.t. entre un nodo final y uno fuente:

$$G(s) = \frac{x_{final}}{x_{fuente}} = \frac{1}{\Delta} \sum_k T_k \Delta_k$$

$$\Delta = 1 - \sum B_{1n} + \sum B_{2n} - \sum B_{3n} + \dots + (-1)^n \sum B_{mn}$$

T_k = Transmitancia del k-ésimo trayecto directo entre el x_{fuente} y el x_{final}

$\sum B_{1n}$ = Suma de transmitancias de todos los bucles del flujograma

$\sum B_{2n}$ = Suma de los productos de transmitancias de las parejas de bucles

$\sum B_{3n}^{\text{disjuntos}}$ = Suma de los productos de transmitancias de las ternas de bucles disjuntos

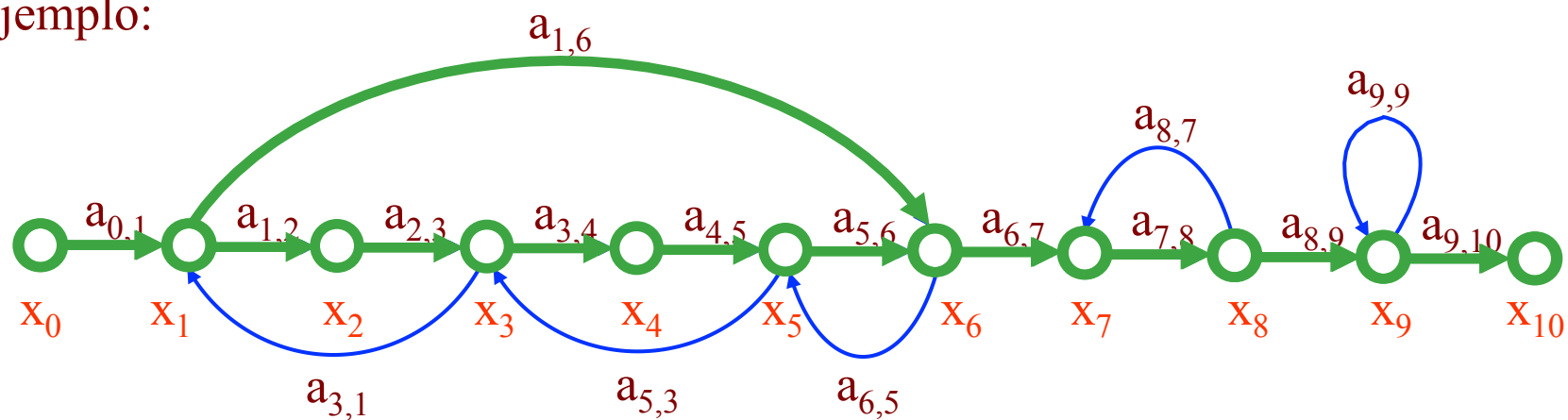
...

Δ_k = Valor de Δ excluyendo los términos donde intervienen bucles que tienen algún nodo común con el trayecto directo T_k

Reducción de Sistemas

Regla de Mason:

Ejemplo:



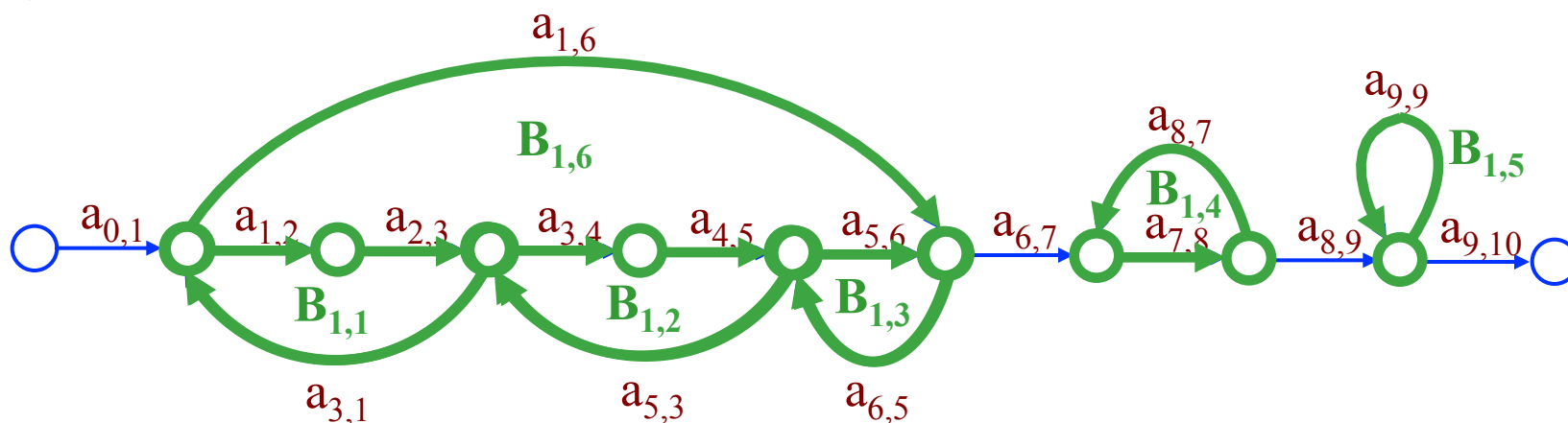
Trayectos directos (T_k)

$$T_1 = a_{0,1}a_{1,2}a_{2,3}a_{3,4}a_{4,5}a_{5,6}a_{6,7}a_{7,8}a_{8,9}a_{9,10}$$

$$T_2 = a_{0,1}a_{1,6}a_{6,7}a_{7,8}a_{8,9}a_{9,10}$$

Reducción de Sistemas

Regla de Mason:



Bucles ($B_{1,n}$)

$$B_{1,1} = a_{1,2}a_{2,3}a_{3,1}$$

$$B_{1,2} = a_{3,4}a_{4,5}a_{5,3}$$

$$B_{1,3} = a_{5,6}a_{6,5}$$

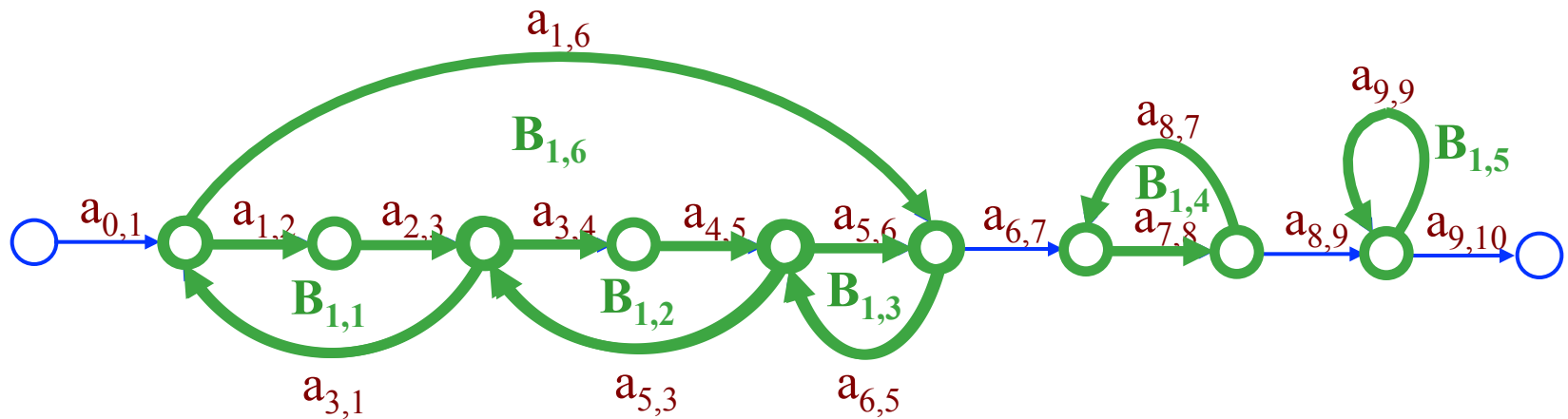
$$B_{1,4} = a_{7,8}a_{8,7}$$

$$B_{1,5} = a_{9,9}$$

$$B_{1,6} = a_{1,6}a_{6,5}a_{5,3}a_{3,1}$$

Reducción de Sistemas

Regla de Mason:



Bucles ($B_{2,n}$)

$$B_{2,1} = B_{1,1}B_{1,3}$$

$$B_{2,3} = B_{1,1}B_{1,5}$$

$$B_{2,5} = B_{1,2}B_{1,5}$$

$$B_{2,7} = B_{1,3}B_{1,5}$$

$$B_{2,9} = B_{1,4}B_{1,6}$$

$$B_{2,2} = B_{1,1}B_{1,4}$$

$$B_{2,4} = B_{1,2}B_{1,4}$$

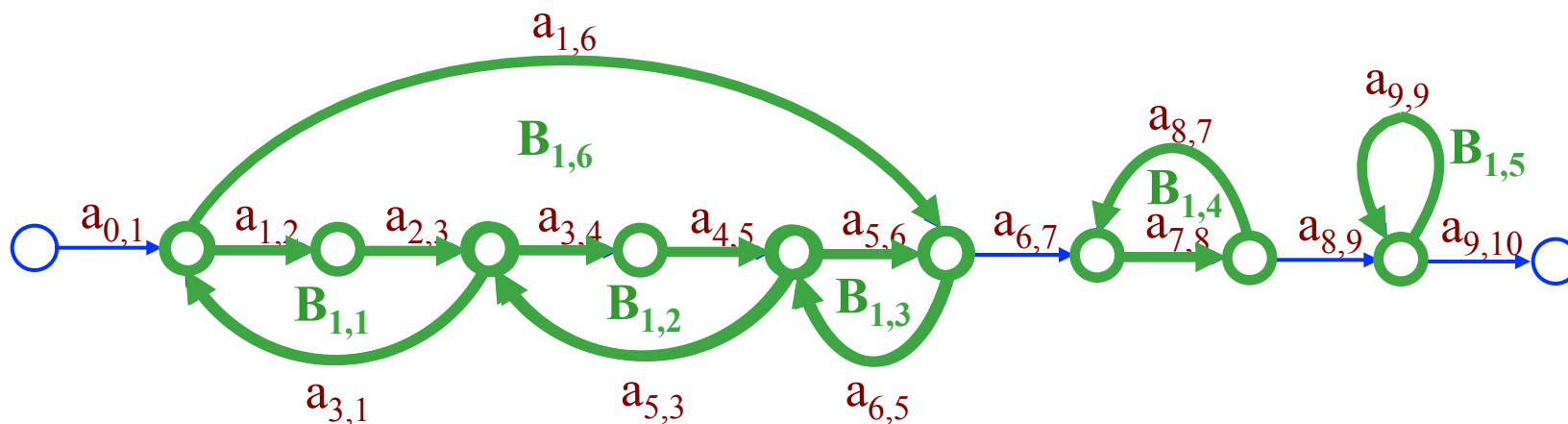
$$B_{2,6} = B_{1,3}B_{1,4}$$

$$B_{2,8} = B_{1,4}B_{1,5}$$

$$B_{2,10} = B_{1,5}B_{1,6}$$

Reducción de Sistemas

Regla de Mason:



Bucles ($B_{3,n}$)

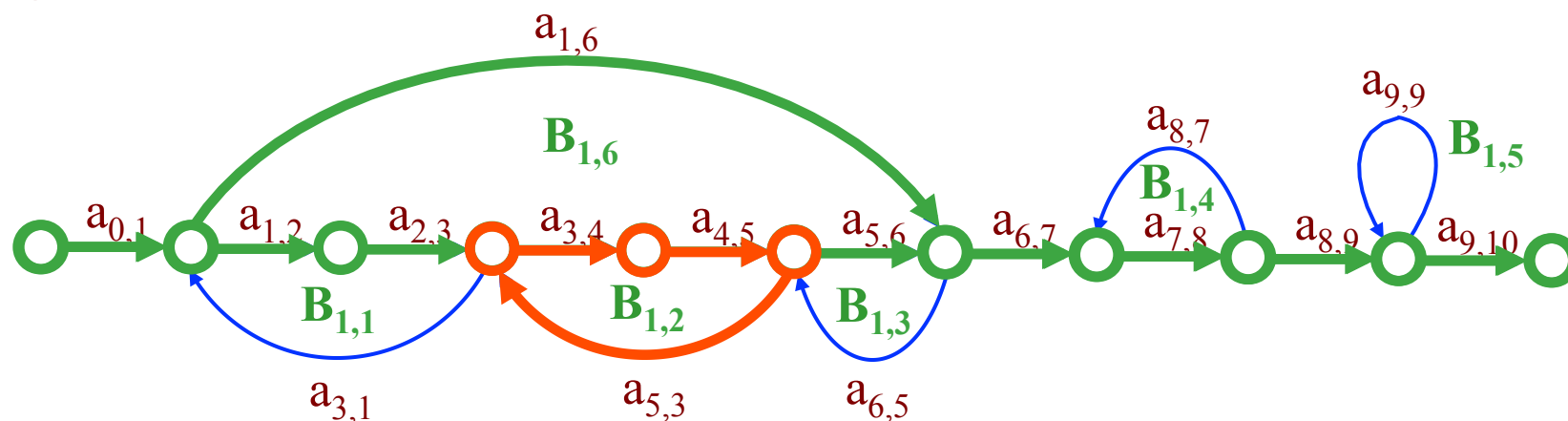
$$\begin{aligned}
 B_{3,1} &= B_{1,1}B_{1,3}B_{1,4} \\
 B_{3,2} &= B_{1,1}B_{1,3}B_{1,5} \\
 B_{3,3} &= B_{1,1}B_{1,4}B_{1,5} \\
 B_{3,4} &= B_{1,2}B_{1,4}B_{1,5} \\
 B_{3,5} &= B_{1,3}B_{1,4}B_{1,5} \\
 B_{3,6} &= B_{1,4}B_{1,5}B_{1,6}
 \end{aligned}$$

Bucles ($B_{4,n}$)

$$B_{4,1} = B_{1,1}B_{1,3}B_{1,4}B_{1,5}$$

Reducción de Sistemas

Regla de Mason:



$$\Delta = 1 - \cancel{\sum B_{1n}} + \cancel{\sum B_{2n}} - \cancel{\sum B_{3n}} + \dots + (-1)^n \cancel{\sum B_{mn}}$$

$$T_1 = a_{0,1}a_{1,2}a_{2,3}a_{3,4}a_{4,5}a_{5,6}a_{6,7}a_{7,8}a_{8,9}a_{9,10}$$

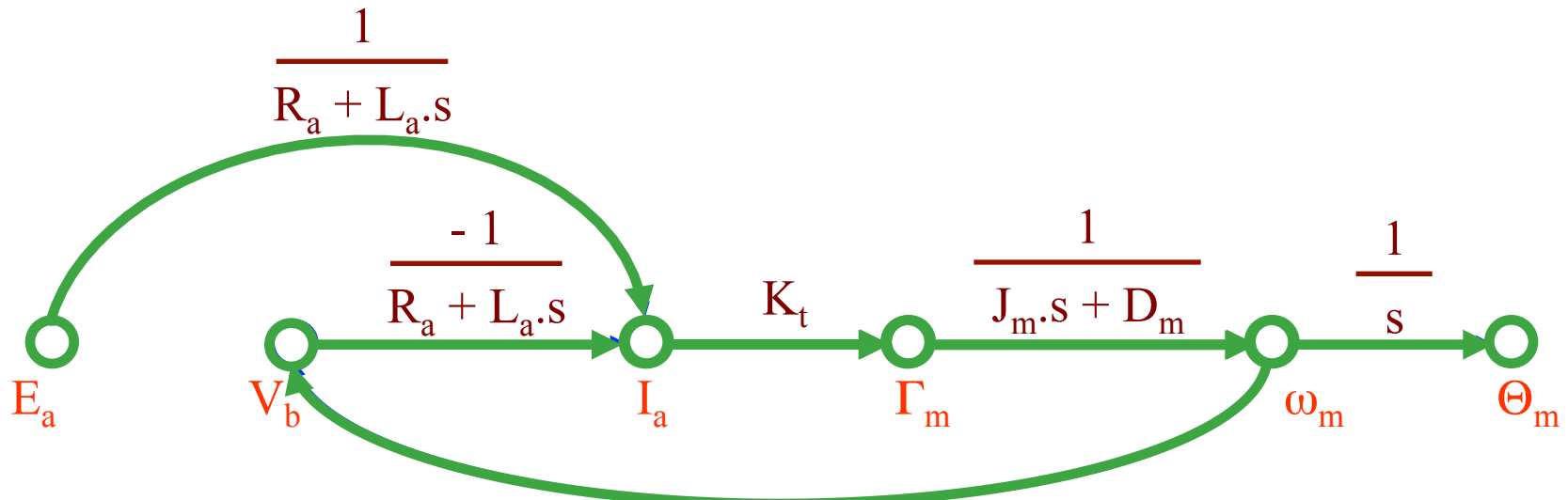
$$\Delta_1 = 1$$

$$T_2 = a_{0,1}a_{1,6}a_{6,7}a_{7,8}a_{8,9}a_{9,10}$$

$$\Delta_2 = 1 - B_{1,2}$$

Reducción de Sistemas

Simplificación del diagrama de flujo de un motor controlado por inducido



$$\left. \begin{aligned}
 T_1 &= \frac{1}{R_a + L_a \cdot s} \cdot K_t \cdot \frac{1}{J_m \cdot s + D_m} \cdot \frac{1}{s} \\
 B_{11} &= \frac{-1}{R_a + L_a \cdot s} \cdot K_t \cdot \frac{1}{J_m \cdot s + D_m} \cdot K_b \\
 \Delta &= 1 - B_{11} \quad \Rightarrow \quad \Delta_1 = 1
 \end{aligned} \right\} \Rightarrow \frac{Q_m(t)}{E_a(s)} = \frac{K_t / (R_a \cdot J_m)}{s \left[s + \frac{1}{J_m} \left(D_m + \frac{K_t \cdot K_b}{R_a} \right) \right]}$$